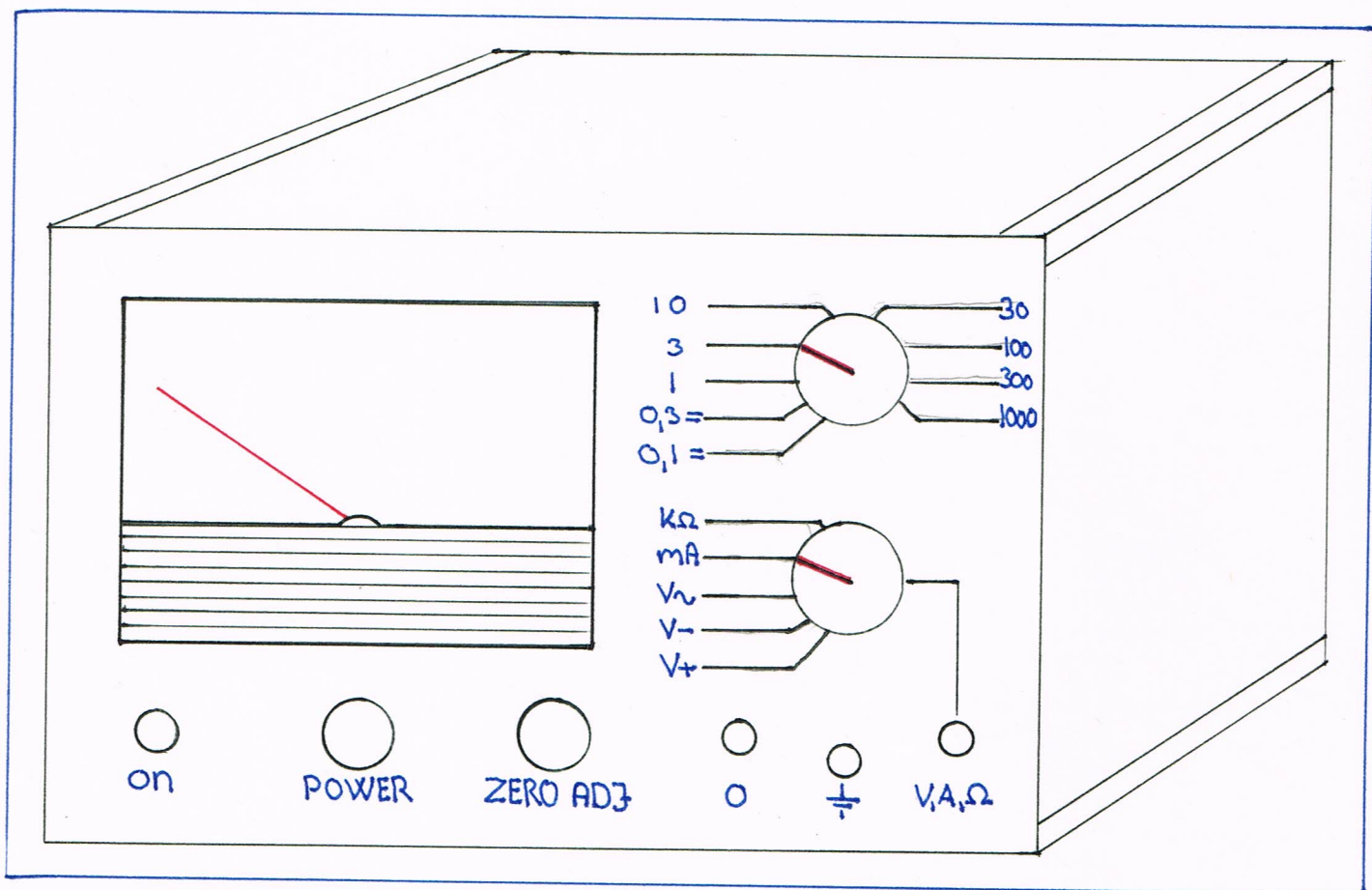


Rapport over universalinstrument

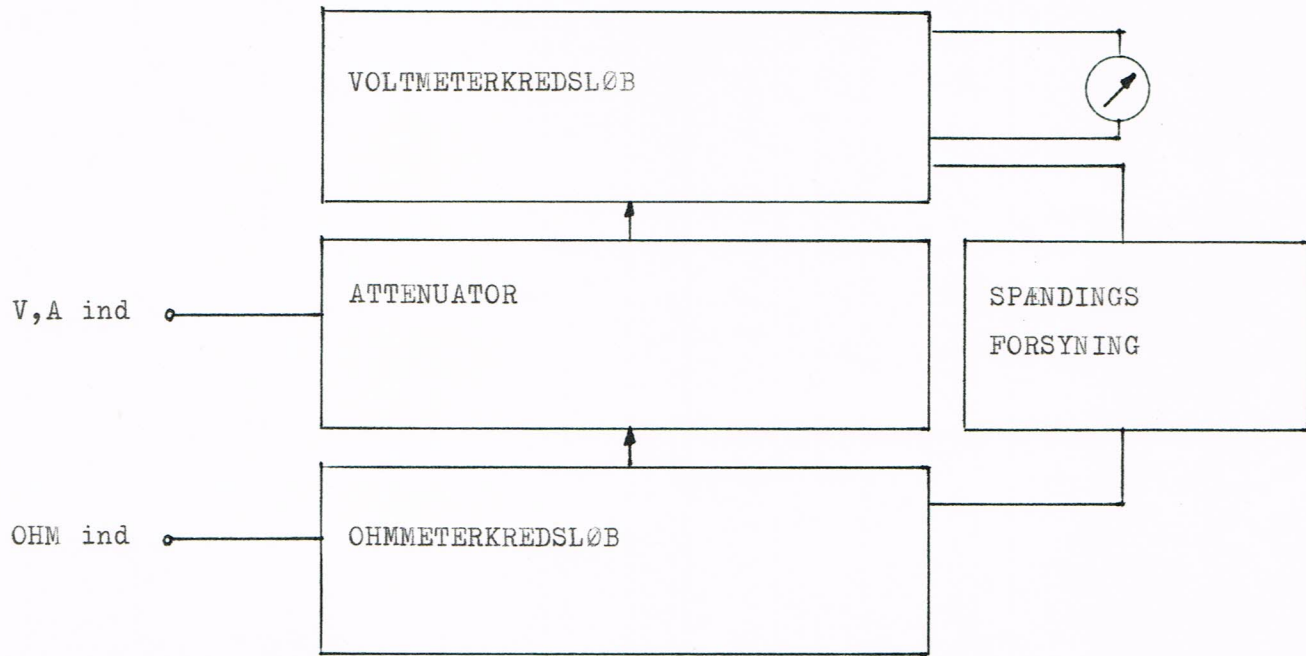


Af Carsten Nielsen.

## INDHOLDSFORTEGNELSE.

- SIDE: I Forside
- 2 Indholdsfortegnelse
  - 3 Blokdiagram og specifikationer
  - 4 Kort funktionsbeskrivelse
  - 5 Strømforsyning
  - 6 Diagram over attenuator
  - 7 Beskrivelse af attenuator
  - 8 Diagram over voltmeterkredsløb
  - 9-10 Beskrivelse af voltmeterkredsløb
  - II Måling af jævnstrøm
  - I2 Diagram over ohmmeterkredsløb
  - I3-I5 Beskrivelse af ohmmeterkredsløb
  - I6 Andringer
  - I7 Opstilling til måling af indgangsimpedans
  - I8 Frekvensgang for V.O.M. i 3 Volt område
  - I9 Indgangsimpedans som funktion af frekvens i 1 Volt område
  - 20 Kontrolmålinger på V.O.M.
  - 21-23 Komponentliste til V.O.M.
  - 24 Samlet diagram
  - 25 Omskifter og nettrafo til V.O.M.
  - 26 Vikling af nettrafo
  - 27 Printlay-out og komponentplacering for voltmeterkredsløb
  - 28 Printlay-out og komponentplacering for ohmmeterkredsløb
  - 29 Printlay-out og komponentplacering for attenuator
  - 30 Montage af omskifter
  - 31 Netkabling
  - 32 Hovedkabling
  - 33 Justering af V.O.M.
  - 34-35 Datablad LF356
  - 36-40 Datablad BC547
  - 41 Datablad 79LI5
  - 42-43 Datablad 2N3956 og 78LI5
  - 44 Konklusition

## BLOKDIAGRAM OG SPECIFIKATIONER



## SPECIFIKATIONER

### SPÅNDINGSMÅLING

DC Volt 0-300 V

AC Volt 0-300 V

### STRØMMÅLING

DC strøm 0-1 A

### INDGANGSIMPEDANS

DC 10,2 Mohm

AC 50 Hz 1,02 Mohm

### AFVIGELSE

Mindre end 1 % i alle områder

## KORT FUNKTIONSBEKRIVELSE.

Spændingsforsyning:

Omdanner nettes 220V til +/- 15 V til kredsløbene og 5 volt til indikatoren.

Attenutatoren:

Er en præcisions spændingsdeler, der neddeler den indkomne spænding

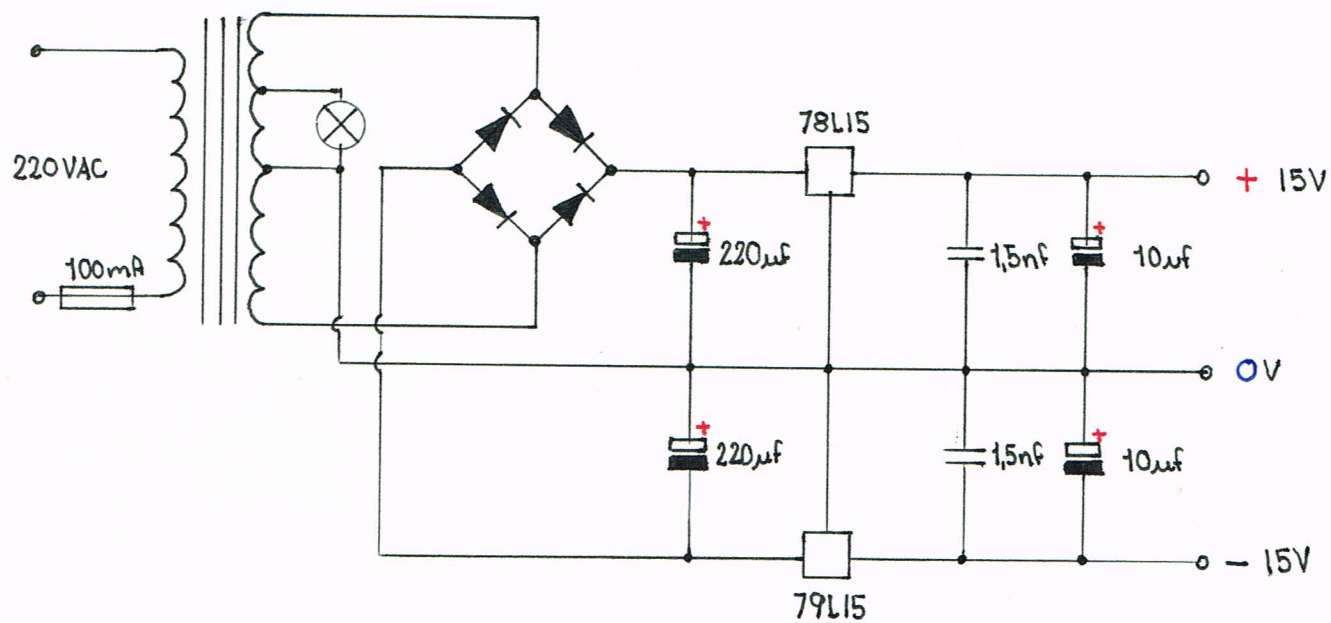
Voltmeter kredsløbet:

Måler den spænding som kommer fra attenuatoren, og sørger for udslag på instrumentet

Ohmmeterkredsløbet:

Konstant strømssgenerator der omsætter en modstandsværdi til en spænding som voltmeterkredsløbet mäter.

## STRØMFORSYNING



Transformatoren omsætter nettes 220 Volt AC, til 2x18 Volt til brokoblingen, samt 5 Volt til indendikatorlampen.

Brokoblingen laver vekselspændingen om til en pulserende jævnspænding med en rippelfrekvens på 100 Hz, som elektrolytterne på 220  $\mu$ f, har til opgave at udglatte.

Spændingen bliver derefter nedreguleret til +/- 15 Volt af de to spændingsregulatorer.

78L15 tager sig af de positive spændinger, og 79L15 tager sig af de negative.

Kondensatorerne på 1,5 nf, modvirker selsving, der er ødelæggende for spændingsregulatorerne.

Elektrolytterne på 10  $\mu$ f dæmper eventuelt opståede rippelsspændinger.

(100mV)

6,8 M

(300mV)

2,38 M

(1V)

680 K

(3V)

238 K

(10V)

68 K

(30V)

23,8 K

(100V)

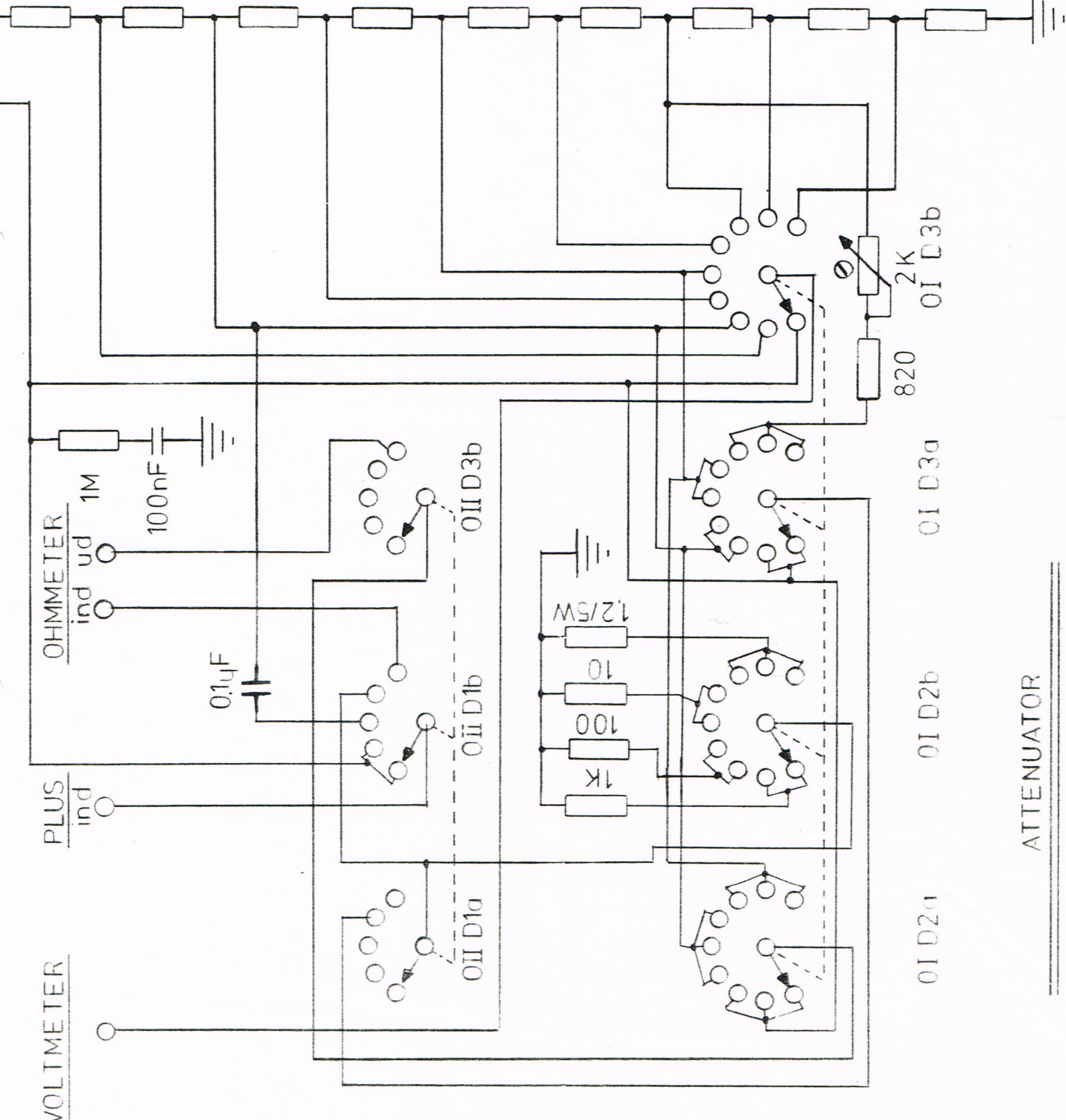
6,8 K

(300V)

2,38 K

(1M,1A)

1,02 K



## ATTENUATOR.

Attenuatoren er en præcisions spændingsdeler, hvis opgave er at neddele den indkomne spænding.

Det vil sige, at hvis man sender 30 Volt ind i 30 Volt's området, vil der på "glideren" af omskifteren optræde en spænding på 0,1 Volt, der går til voltmeterkredsløbet, som så får meteret til at slå helt ud.

Sender man derimod kun 15 Volt ind i 30 Volt's området, optræder der en spænding på 0,05 Volt på "glideren" af omskifteren, hvilket resulterer i, at meteret nu kun slår halvt ud.

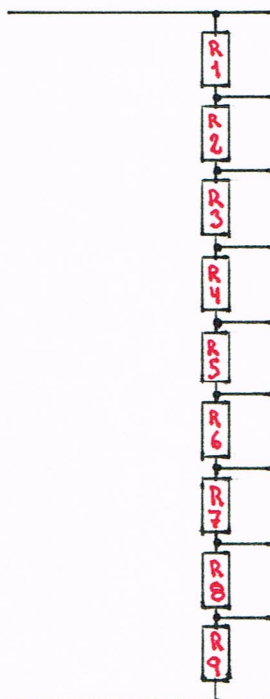
Kort sagt sørger attenuatoren for, at man kan måle en højere spænding, end de 0,1 Volt som voltmeterkredsløbet er dimosioneret til.

Fra toppen af attenuatoren, er der monteret en modstand i serie med en kondensator hvis andet ben er lagt til stel. Dette led's opgave er at fjerne rester af vekselspændinger på den målte spænding, når måleinstrumentet står i stilling DC. Omvendt har den anden kondensator til opgave, at spærre for jævnspænding, når måleinstrumentet står i stilling AC.

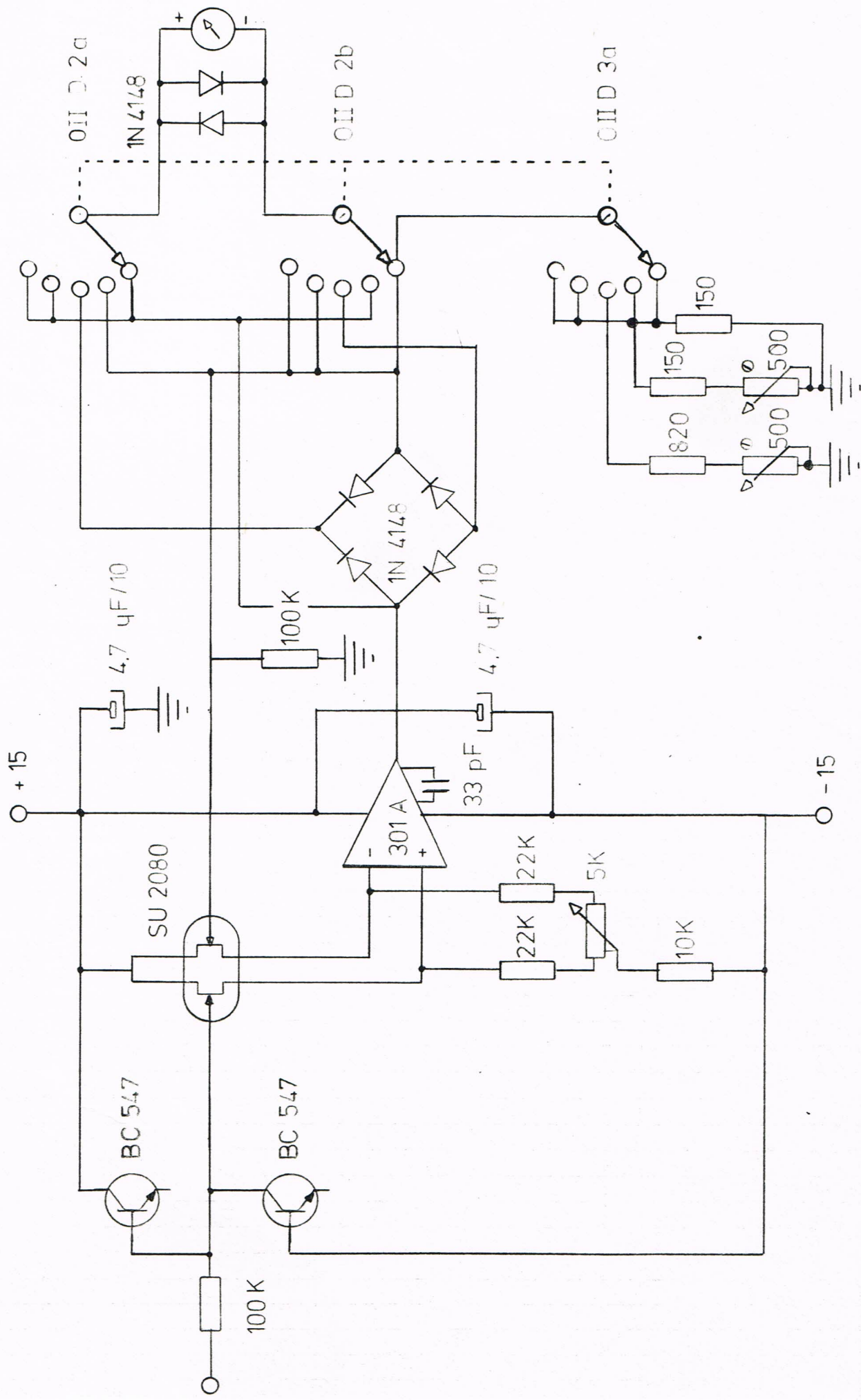
Grunden til at denne kondensator er påsat I Volt's området i attenuatoren, er at det mest følsomme AC område er I Volt.

Dette skyldes spændingstab i nogle dioder i voltmeterkredsløbet.

område	forhold	DC spænding	AC spænding	mA jævnstrøm	$\Omega$ modstand
0,1	1:1	0,1V		0,1mA	100 $\Omega$
0,3	1:3	0,3V		0,3mA	300 $\Omega$
1	1:10	1V	1V	1mA	1k $\Omega$
3	1:30	3V	3V	3mA	3k $\Omega$
10	1:100	10V	10V	10mA	10k $\Omega$
30	1:300	30V	30V	30mA	30k $\Omega$
100	1:1000	100V	100V	100mA	100k $\Omega$
300	1:3000	300V	300V	300mA	300k $\Omega$
1000	1:10000			1A	1M $\Omega$



## VOLTMETER KREDSL ØB



## VOLTMETERKREDSLØB.

Spændingen fra attenuatoren kører ind i en sourcefølger, med meget høj indgangsimpedans. Dennes opgave er, at sørge for at attenuatoren ikke bliver belastet.

Med potentiometeret på 5 Kohm udbalanceres eventuelle forskelle i fet'terne. Dette potentiometer er monteret på forpladen, og bruges til at nulstille meteret med.

De to transistorer, der er koblet som dioder, beskytter fet'terne mod for stor spænding på gaten. Sålænge transistorens basis-collector spænding ikke over stiger 15,6 Volt, vil transistorene være forspændt i spærretningen. Kommer spændingen over 15,6 Volt begynder transistorene at lede, og begrænser hermed spændingen på fet transistorens gate. Der bruges transistorer i stedet for dioder, da disse har mindre indre kapacitet, hvilket har betydning for meterets øvre grænsefrekvens.

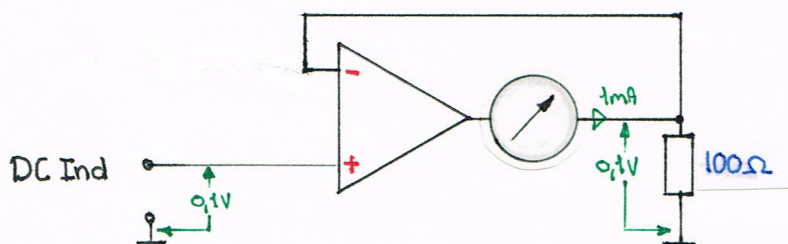
Fra source følgeren, kører spændingen ind i en spændingsfølger, på hvis udgang meteret er tilkoblet.

Elektrolytten som er koblet over + og - på operationsforstærkeren, modvirker hurtige ændringer i forsyningsspændingen. Den anden elektrolyt dæmper rippel. Kondensatoren frekvenskompencerer og hindre selsving i operationsforstærkeren, og modstandene på 100 Kohm sørger for at de to fet'ter får samme arbejdsbetingelser.

Med de to trimmekontakter på 500 ohm, justeres meteret til korrekt udslag i henholdsvis AC og DC området.

De to dioder, der er monteret over meteret, beskytter dette, da der aldrig kan komme mere end 0,6 Volt over dem.

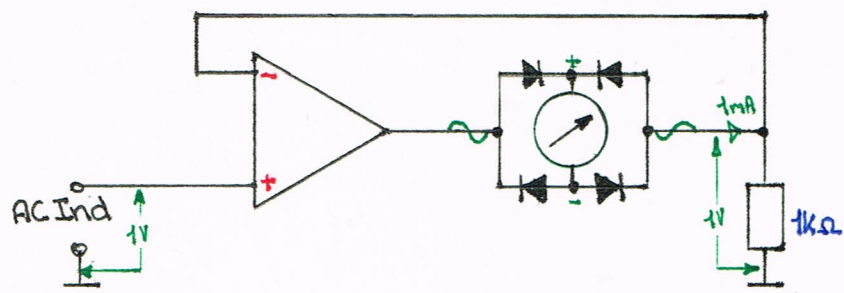
## DC SPÆNDINGSMÅLING.



Principdiagrammet herover viser hvad der sker, når måleinstrumentet står i stilling DC.

Påtrykker man indgangen en spænding på 0,1 Volt, kommer der også til at ligge 0,1 Volt over modstanden, hvorfor der går en strøm på 1 mA til meteret, hvilket får det til at slå helt ud.

### VEKSELSPÄNDINGSMÄLING.



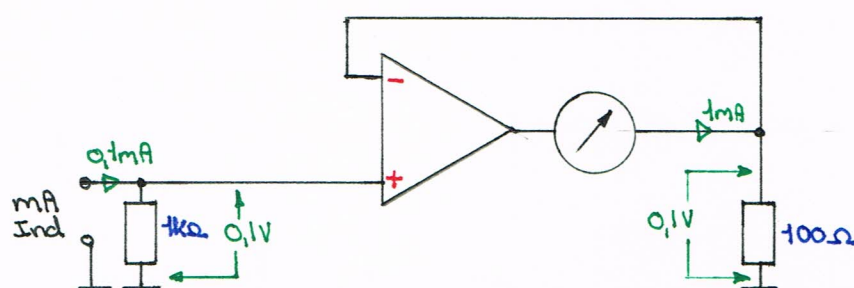
Principdiagrammet herover viser hvad der sker når måleinstrumentet står i stilling AC.

Påtrykker man indgangen en spænding på 1 Volt, kommer der også til at lægge 1 Volt over modstanden, så der flyder en strøm på 1 mA til meteret, hvilket får det til at slå helt ud. Da det er en vekselstrøm der går, er der indsat en brokobling, som får meteret til at slå ud til den rigtige side.

Det er på grund af denne brokobling, at måleinstrumentets følsomste område er 1 Volt, da der sker et spændingsfald over denne.

## MÅLING AF JÆVNSTRØM.

Ampermeteret består af voltmeterkredsløbet samt nogle shunt modstande. Med en omskifter udvælges værdien af shunt modstanden, og på trimmeren på 2 Kohm, kan man justere meteret til korekt udslag i de tre højeste områder. Men da shunt modstanden i 1 A området er 1,2 ohm, og ikke som den skulle være 1 ohm, er der indsat en ekstra trimer til dette område. Denne ændring er indtegnet på det samlede diagram.



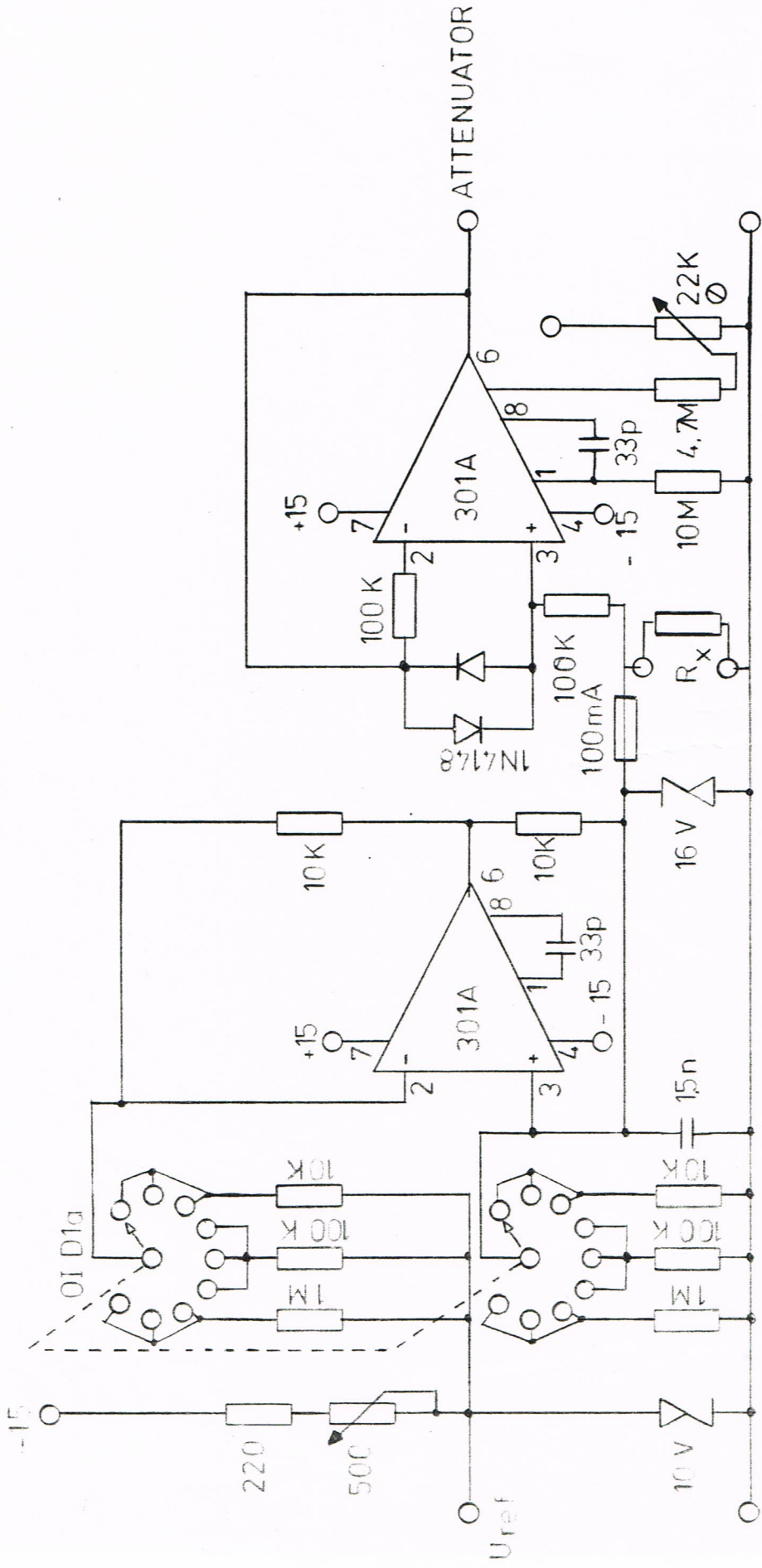
Principdiagrammet herover viser hvad der sker når måleinstrumentet står i 0,1 mA området.

På trykker man indgangen en strøm på 0,1 mA, giver det et spændingsfald over 1 Kohm modstanden på 0,1 Volt. Herved kommer der til at ligge 0,1 Volt over 100 ohm modstanden, så der går en strøm på 1 mA til meteret, hvilket får det til at slå helt ud.

## OHMMETER

---

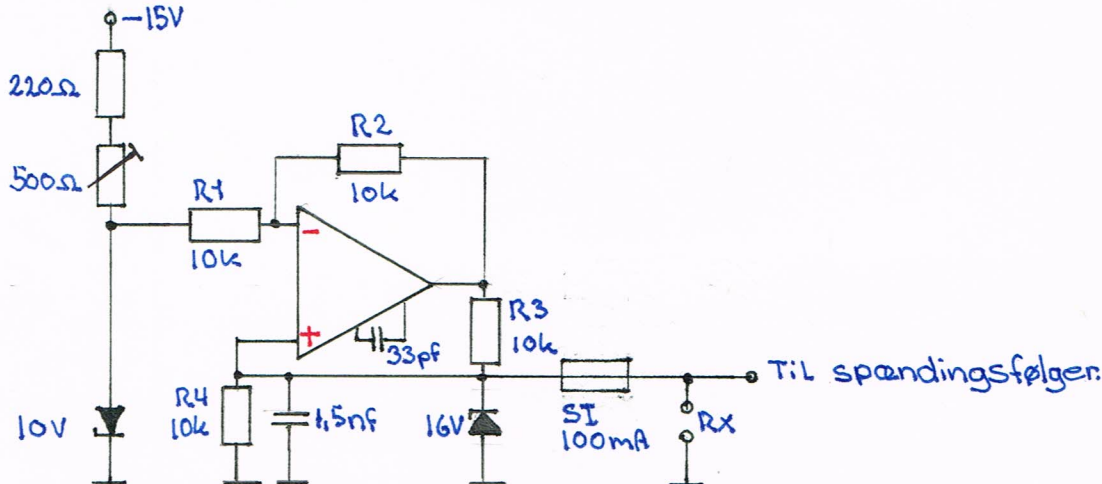
---



## OHMMETERKREDSLØB.

Ohmmeterkredsløbet består af en konstantstrøms generator, som sender en konstant defineret strøm gennem  $R_x$ , hvorved der opstår en konstant spænding over denne, som på instrumentet giver sig til kende som en funktion af modstands værdien. Med omskifteren vælges forstærkningen i operationsforstærkeren.

Principdiagram med omskifter i I Kohm området.



Principdiagrammet viser hvad der sker når måleinstrumentet står i I Kohm området.

Zenerdioden leverer den reference spænding på -10 Volt, som senere bliver om-dannet til en konstant strøm.

På trimmepotentiometeret kan denne referencespænding justeres.

Når omskifteren står i stilling I Kohm, fås at forstærkningen i kredsløbet vil være:

$$AU = -\frac{R_1}{R_2} = -\frac{10k}{10k} = -1gg$$

Hvorfor der på operationsforstærkerens udgang vil være:

$$U_{out} = U_{in} \times AU = -10V \times -1gg = 10V$$

Strømmen gennem  $R_x$ :

$$I_{Rx} = \frac{U_{out}}{R_3} = \frac{10V}{10k} = 1mA$$

Spændingen over Rx er derfor, ved Rx 500 ohm:

$$U_{Rx} = Rx \times I_{Rx} = 500 \text{ ohm} \times 1 \text{ mA} = 0,5 \text{ V}$$

Disse 0,5 Volt går til attenuatoren, der neddeler spændingen og sender 0,05 Volt til voltmeterkredsløbet, som får meteret til at slå halvt ud.

Dette kan dog også vises på en anden måde.

Forstærkningen på den ikke inverteret indgang vil være:

$$AU_{niv.} = \frac{R_2}{R_1} + 1 = 2 + 1 = 3$$

Spændingen på udgangen set fra den ikke inverteret indgang er:

$$U_{out\ niv.} = AU_{niv.} \times U_{niv.} = 3 \times 0,5 \text{ V} = 1,5 \text{ V}$$

da vi jo før fandt ud af at spændingen over Rx var 0,5 Volt og denne spænding jo ligger på den ikke inverteret indgang.

Det samlede resultat af spændingen på udgangen er

$$U_{out'} = U_{out\ niv.} + U_{out} = 1,5 \text{ V} + 0,5 \text{ V} = 2 \text{ V}$$

Spændingen over R3 må så være forskelle melle U<sub>out'</sub> og spændingen over Rx:

$$U_{R3} = U_{out'} - U_{Rx} = 2 \text{ V} - 0,5 \text{ V} = 1,5 \text{ V}$$

Strømmen igennem R3 kan nu beregnes:

$$I_{R3} = \frac{U_{R3}}{R_3} = \frac{1,5 \text{ V}}{10 \text{ k}\Omega} = 1,5 \text{ mA}$$

$$\text{Da } U_{R4} = U_{niv.} = U_{Rx}$$

må strømmen gennem R4 være

$$I_{R4} = \frac{U_{R4}}{R_4} = \frac{0,5 \text{ V}}{10 \text{ k}\Omega} = 0,05 \text{ mA}$$

Strømmen gennem Rx må være forskellen mellem strømmene i R3 og R4

$$I_{Rx} = I_{R3} - I_{R4} = 1,5 \text{ mA} - 0,05 \text{ mA} = 1,45 \text{ mA}$$

Hermed er det så bevist at kredsløbet er en konstantstrømsgenerator.

Kondensatoren på 1,5 nf fjerner støj fra zenerdioden på 16 Volt, som sammen med sikringen, beskytter instrumentet mod eventuelle ødelæggende forsøg på måling af strøm eller spænding i ohm området.

Kondensatorerne på 33 pf frekvenskompencerer operationsforstærkerne, så der ikke opstår selsving i dem.

De to dioder i spændingsfølgeren, beskytter operationsforstærkeren, mod for stor spænding mellem indgangene.

Modstanden der er monteret på den inverterende indgang, begrænser strømmen igennem dioderne, mens modstanden på 100 kohm på den ikke inverterende indgang, udbalancerer den herved opståede forskel på indgangene.

Trimmeren på 22Kohm bruges til justering af ohm området.

Modstanden på 10 Mohm, er monteret af hensyn til off-set.

Spændingsfølgerens opgave er at sørge for at Rx ikke bliver belastet.

## ÆNDRINGER.

For at gøre måleinstrumentet bedre, er der foretaget ændringer i konstruktionen. Disse ændringer er følgende:

Operationsforstærkeren i voltmeterkredsløbet er udskiftet med en LF356, da denne kan gå højere op i frekvens.

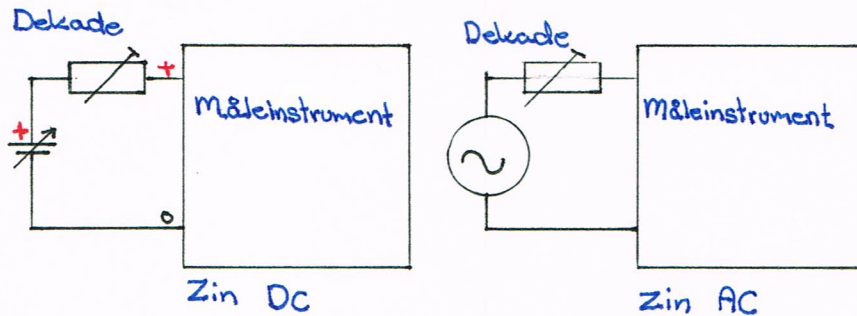
I stedet for fetterne SU2080, er brugt 2N3956.

Som der er nævnt er der indsat en ekstra trimmer for at kunne justere 1 Amperes området, til korrekt visning.

En ændring som det måske var en ide at foretage, er at udskifte de to transistorer med nogle som har en meget lille indre kapacitet, da måleinstrumentet herved kan gå højere op i frekvens.

Forsøgsvis har jeg prøvet at pille transistorene ud, med det resultat at -instrumentet kunne gå op til 490 KHz, før fejlvisningen var under -1dB og øvre grænsefrekvens ved -3dB ved 530 KHz

## OPSTILLING TIL MÅLING AF Zin.



Zin ved DC:Måleinstrument i 1 Volt's område.

Juster output på DC forsyning til fuldt udslag på måleinstrumentet.

Under denne procedure skal dekaden kortsluttes.

Når proceduren er tilendebragt, fjernes kortslutningen, og der drejes på dekaden, til instrumentet viser halvt udslag.

Herefter kan Zin direkte aflæses på dekaden.

Zin ved AC:Måleinstrument i 1 Volt's område.

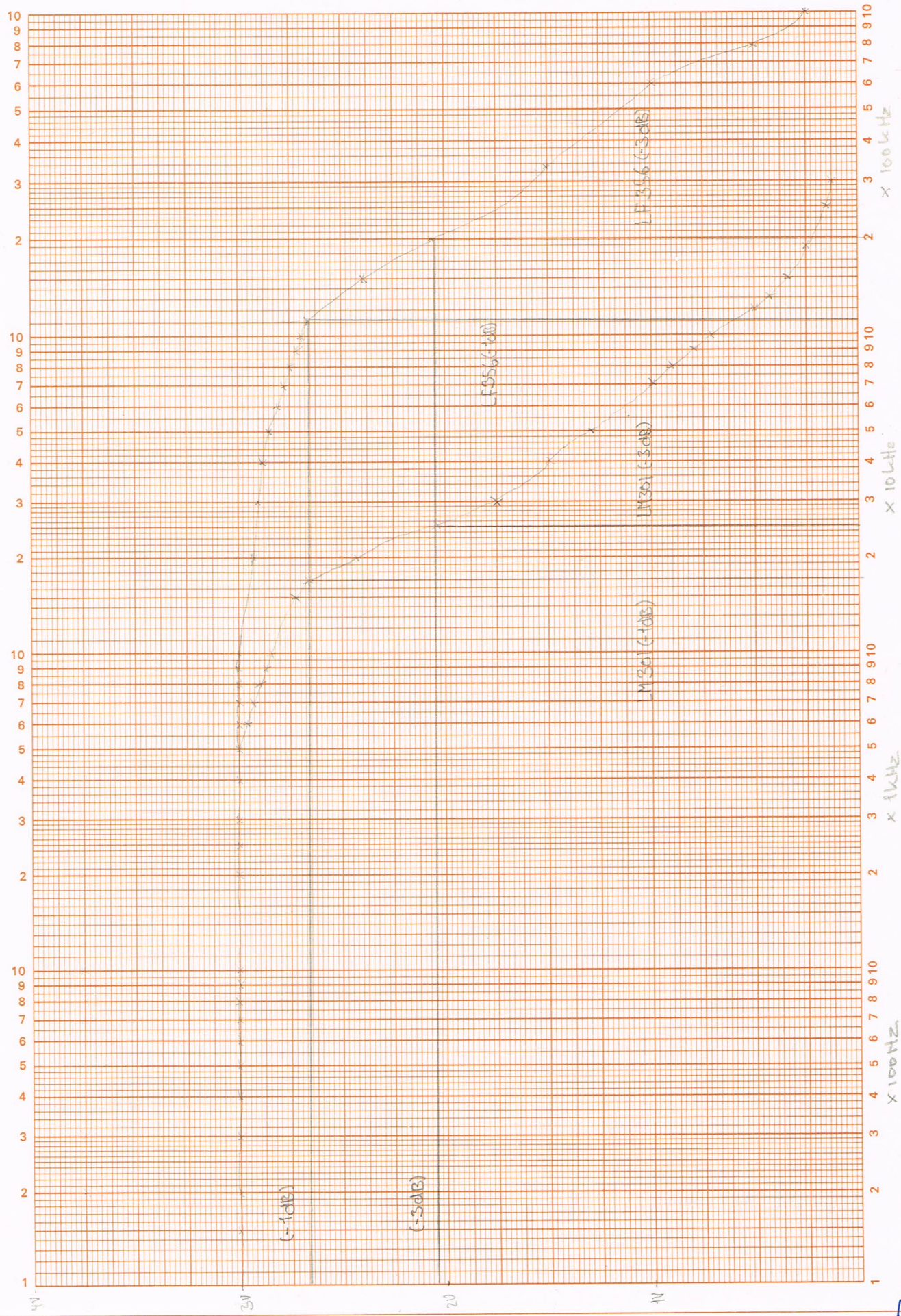
Juster output på generator til fuldt udslag på måleinstrumentet.

Under denne procedure skal dekaden kortsluttes.

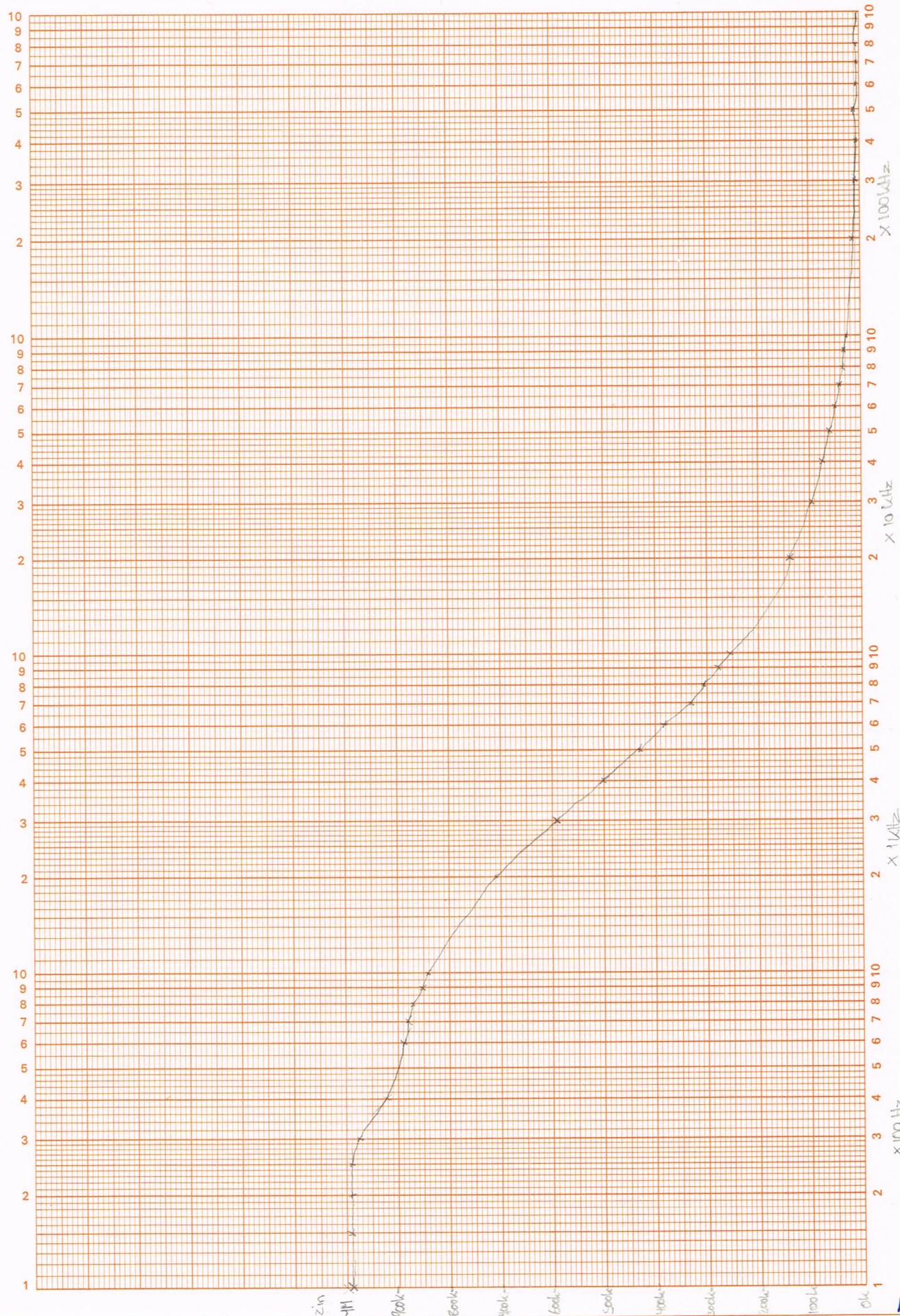
Når proceduren er tilendebragt, fjernes kortslutningen, og der drejes på dekaden, til instrumentet viser halvt udslag.

Herefter kan Zin direkte aflæses på dekaden, som en funktion af den tilsatte frekvens.

Frekvensgang for V.O.M.  
I 3V område



# Indgangsimpedans som funktion af frekvensen i 1 Volts område



# KONTROLMÅLINGER PÅ V.O.M.

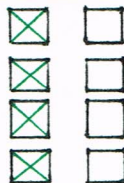
Områdekontrol

NAVN: Carsten Nielsen

	100 $\Omega$ 0,1	300 $\Omega$ 0,3	1k $\Omega$ 1	3k $\Omega$ 3	10k $\Omega$ 10	30k $\Omega$ 30	100k $\Omega$ 100	300k $\Omega$ 300	1M $\Omega$ 1000
V =	0,05%	0,05%	0,1%	0,5%		0,05%	0,2%	0,1%	
V~			0,2%	0,1%		0,1%	0,2%	0,1%	
mA	0,1%	0,1%	0,1%	0,3%	0,8%	0,8%		0,6%	
k $\Omega$	0,1%	0,1%		0,6%	0,4%	0,8%	0,6%	0,2%	0,6%

Korrekt udslag afkrydset og afvigende noteret.

## Kommentar



tilfredsstillende

tilfredsstillende

tilfredsstillende efter ændring\*

tilfredsstillende

Acceptabel

Uacceptabel

## Frekvenskarakteristik

Påtrykket 3 Volt AC og målt.

LM301

Fø(-1 dB): 18 KHz

Fø(-3 dB): 25,5 KHz

LF356

Fø(-1 dB): 110 KHz

Fø(-3 dB): 200 KHz

\*Før ændring i I A området var fejlvisningen 4,6%

## Voltmeter for klasse á 12 elever

Materialliste

Erhverv	Betegnelse Jern & Metal	Kode	Side nr.	3	af 3	slid
Kursus	Betegnelse SV.V.	Kode	Udgave nr.	2	kr	1978
Fagområde	Betegnelse Montage	Kode				
Emne	Betegnelse	Kode				
Antal	Betegnelse	Dim.	Vejl. pris excl. moms	Anmærk.		
24	Knap 333.60 med dæksel 1.31		70,80	Copax		
12	Mentor knap 340.61 S		38,00	Tage Schouboe		
12	Afbryder Shadow 2D.DG chrom NE15 2a EE med møtrik og omløber		134,00	Per Buhl		
24	Drejeomskifter NSF type MK 329 S		1202,40	Oskar Pade		
12	Bøsninger Hirsch BU10		15,55	Tage Schouboe		
12	Klemeskruer rød		43,80	Radio Parts 32960		
12	- " - sort		43,80	- " - 32960		
12	Tavleinstrument 1 mA KM 86		743,45	Radio Parts 73431		
12	Skala for KM 86 10 og 30		46,80	- " -		
12	Stikprop		21,00			
12	Kabelbøjle DV-5		1,20	Radio Parts 31820		
12	Gummibøsning 7022 grå		2,20	Tage Schoubøe 9001		
48	Gummiben 7020		11,70	- " - 9002		
48	Afstandsstykker		8,65	Radio Parts 30770		
12	IC fatning KM 365-14		18,00	E.Friis Mikkelsen		
36	- " - KM 365-8		36,00	- " -		
12	Transformator type 60A			Tradania		
12	65x112 Print					
12	60x70 -"-		336,00	CBS electronics		
24	80x85 -"-					
12	Forplader					
12	Aflastningsbøjle med gevind		3,00	Radio Parts 303610		
12	Telefonlampefatninger		58,90	Radio Parts 476201		
12	Telefonlamper		36,45	- " - 850710		

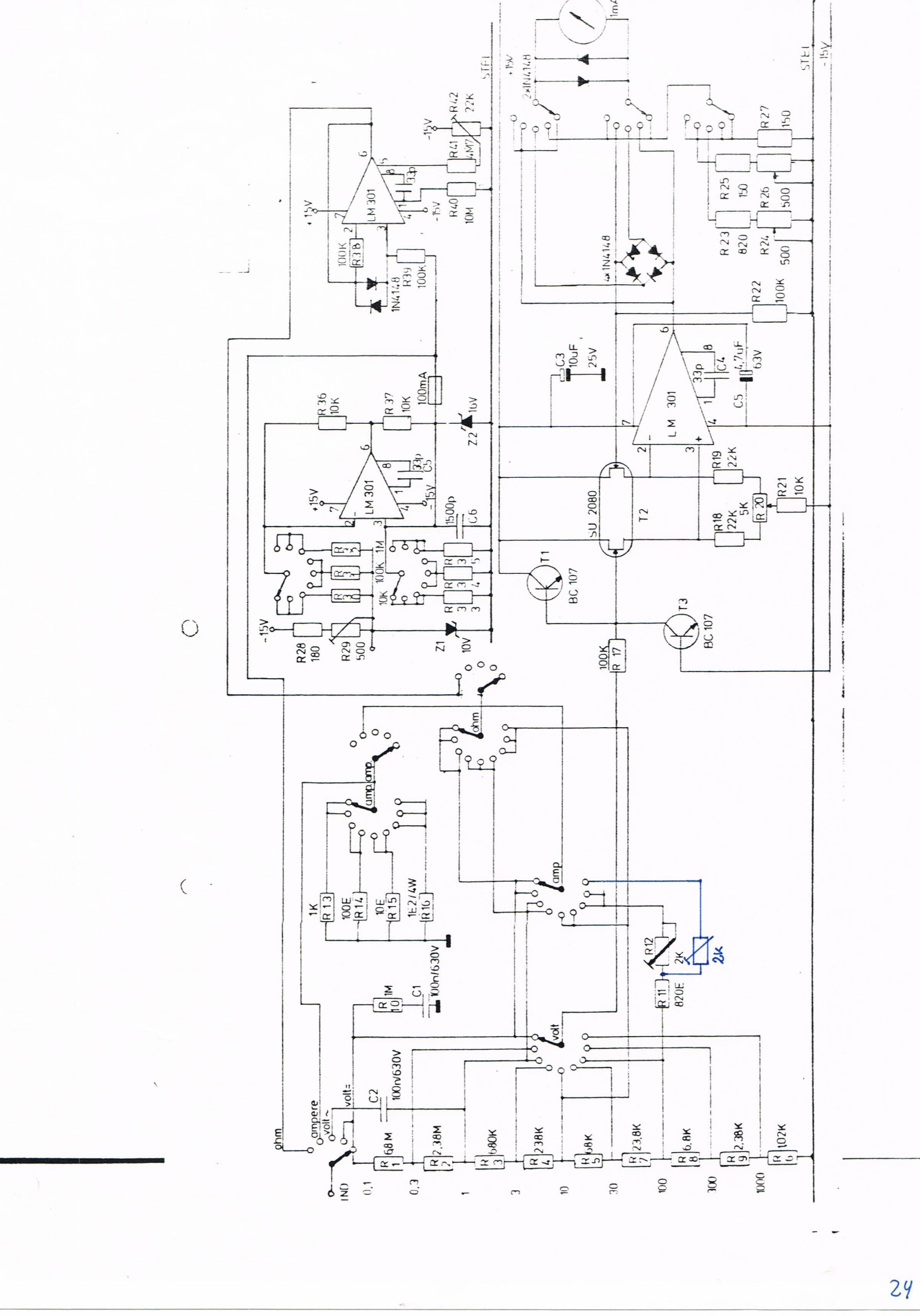
## Voltmeter for klasse á 12 elever

## Materialelli

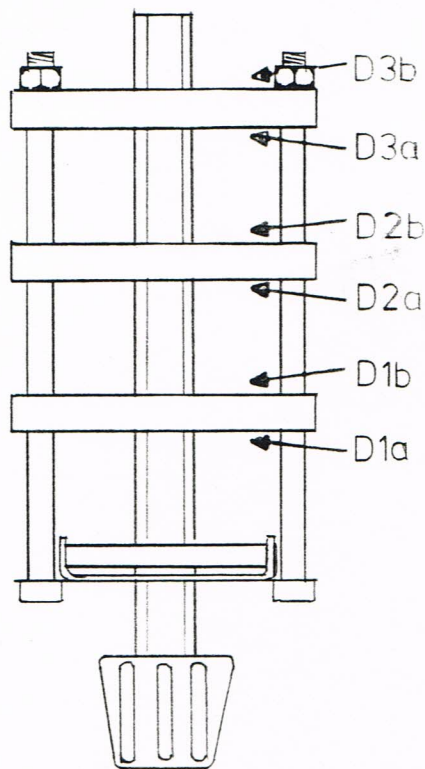
Erhverv	Betegnelse	Kode	Side nr.	2	ef	3	slcd
Kursus	Jern & Metal		Udgave nr.	2	ef	3	1978
Fagområde	SV.V.						
Emne	Montage						
Antal	Betegnelse	Dlm.	Vejl. pris excl. moms	Anmærk			
12	Potentiometer 5 KΩ						
	Colvern CLR 1106 M60		127,80	Tage Schouboe			
	Trimmpotentiometer						
36	500 Ω Bourns 3386 H-1-501		151,20	E.Friis Mikkels			
12	2 KΩ Bourns 3386 H-1-202		50,40	- " -			
12	20 KΩ Bourns 3386 H-1-203		50,40	- " -			
	Kondensatorer						
24	33 pF styroflex B31-310-160V		16,55	Radio Parts 052			
36	1,5 nF -" - B31-310-630V		28,80	- " - 052			
24	100 nF Laco 630 V		19,00	Philips 3526510			
12	100 nF 630 V		21,25	-" - 3416010			
	Elektrolytter						
48	10 μF/25V Frako SKF		38,40	Per Buhl			
24	220 μF/40V Frako KE		24,00	- " -			
	OP forstærker 301 AN		64,80	Nordisk Elektro			
12	Forsyn. SG 1468 N		198,00	E.V. Johansson			
24	BC 547			- " -			
12	SU 2020 FET (50.200)		288,60	Nordisk Elektro			
72	1N4148		25,20	G.D.S. Henckel			
12	BZY88 C5V6		12,00	J. Peschardt			
12	BZY88 C4V3		12,00	- " -			
12	BZX79 C16V		12,00	- " -			
12	BY 159/400 (50.159-100)		42,00	Nordisk Elektro			
24	flink sikring 5x20 100 mA		14,10	Radio Parts			
24	Sikringsholder		6,45	- " - 498			
12	Sikringsholder		43,80	- " - 498			

Erhverv	Betegnelse Jern & Metal	Kode	Side nr.	1	af	3	sidet
Kursus	Betegnelse SV.V.	Kode	Udgave m.	2	&r	1978	R
Fagområde	Betegnelse Montage	Kode					
Emne	Betegnelse	Kode					
Antal	Betegnelse	Dim.	Vejl. pris excl. moms	Anmærk.			
24	Modstande 10 Ω			Philips 05			
12	- " - 180 Ω			- " -			
24	- " - 820 Ω			- " -			
12	<del>██████████</del> 6,2 KΩ			- " -			
12	- " - 10 KΩ			- " -			
24	- " - 22 KΩ		15,00	- " -			
24 48	- " - 100 KΩ			- " -			
12	- " - 1 MΩ			- " -			
12	- " - 4,7 MΩ			- " -			
12	- " - 10 MΩ			- " -			
24	<del>██████████</del> 150 Ω			- " -			
12	Modstande 1,2 Ω 4 W VTM 206-0	27,10	E.Friis Mikkelsen				
36	Modstande 10Ω 1% VTM412-0			- " -			
12	- " - 100Ω1%			- " -			
12	- " - 182Ω1%			- " -			
36 24	- " - 1 KΩ1%			- " -			
12	- " - 1,8 KΩ1%			- " -			
12	- " - 2,2 KΩ1%			- " -			
12	- " - 6,8 KΩ1%			- " -			
60 48	- " - 10 KΩ1%			- " -			
12	- " - 18 KΩ1%			- " -			
12	- " - 22 KΩ1%		405,10	- " -			
12	- " - 68 KΩ1%			- " -			
36 24	- " - 100 KΩ1%			- " -			
24 12	- " - 180 KΩ1%			- " -			
12	- " - 220 KΩ1%			- " -			
12	- " - 680 KΩ1%			- " -			
24	- " - 3,2 MΩ1%			- " -			
48 36	- " - 2,2 MΩ1%			- " -			
24	1,0 MΩ1%						

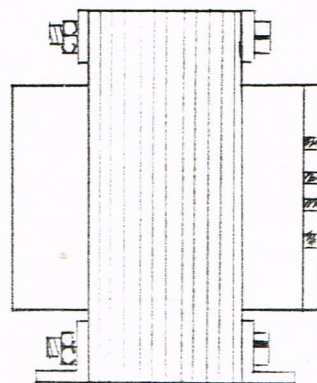
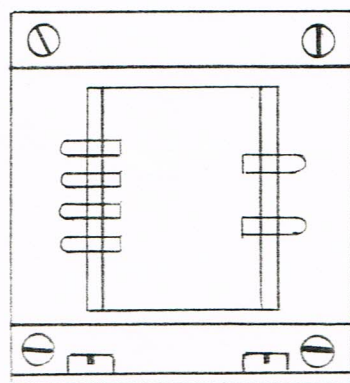
Røffel  
18/5 1989



## OMSKIFTER TIL VOM

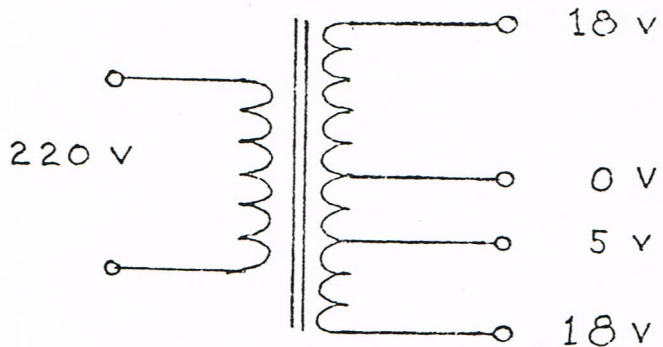


## NETTTRAFO TIL VOM

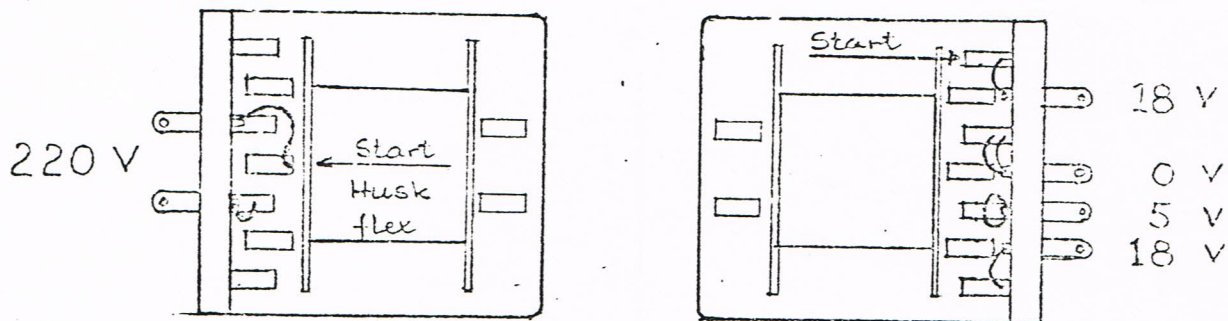


Emne	Montering.	Fagområde
Underemne	Vikling af transformator til universalinstrument.	
		Udgave 1 Reg. nr. 22 02.80
		Side of Sign.
		Navn

Diagram:



Spoleform: 60 A



Vikledata: Primær : Primær : 2400 Vdg - 0,17 mm tråd  
v/1200 Vdg et lag flospapir  
afslut med : et lag oliebelækket  
to lag flospapir

HUSK : Snøede udføringer - 3 tråde  
Flex på udføringer.

Sekundær : 390 Vdg - 0,30 mm tråd

Maling på trafo:  
Tomgangsstrøm 26mA.  
Sekundærsætninger  
18,2 V og 18,4 V samt 5,1 V

Start ved 18 V terminal

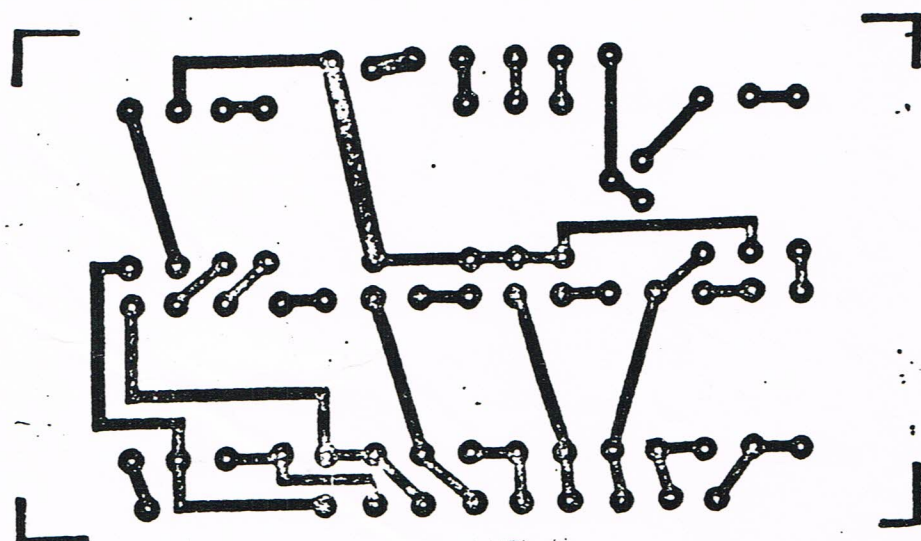
v/ 195 Vdg udføring til 0 V

v/ 250 Vdg udføring til 5 V

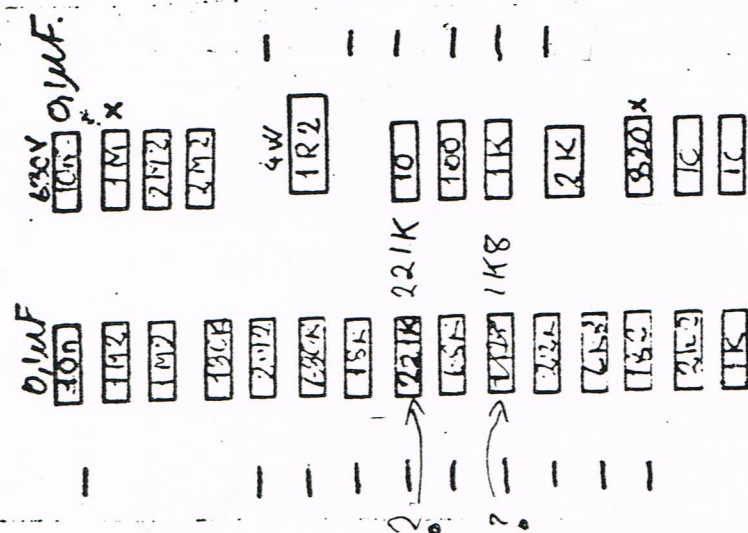
afslut med : to lag flospapir

et lag oliebelækket

## Underemne: Komponentplacering for attenuator



## **PRINTLAY-OUT**

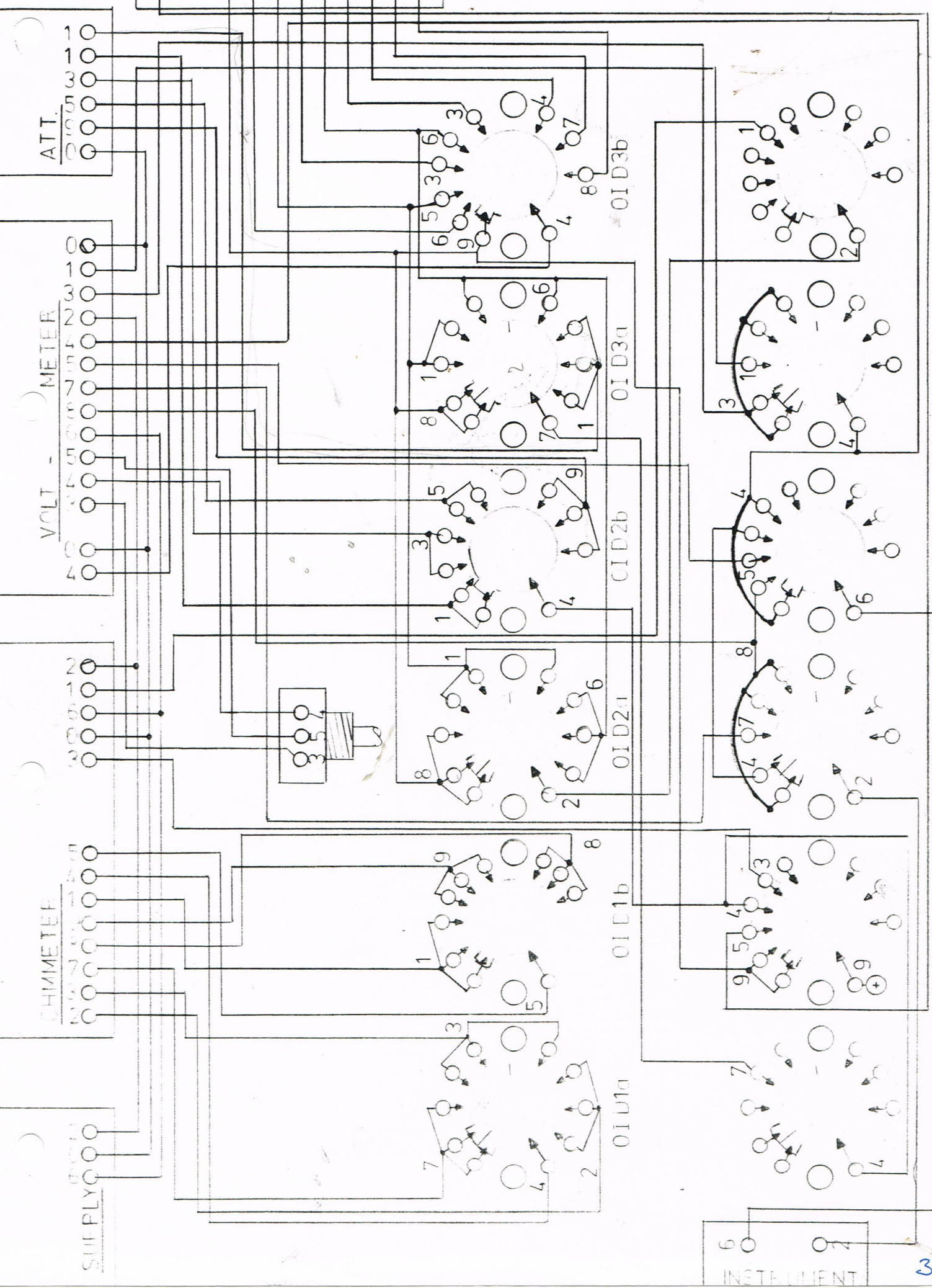


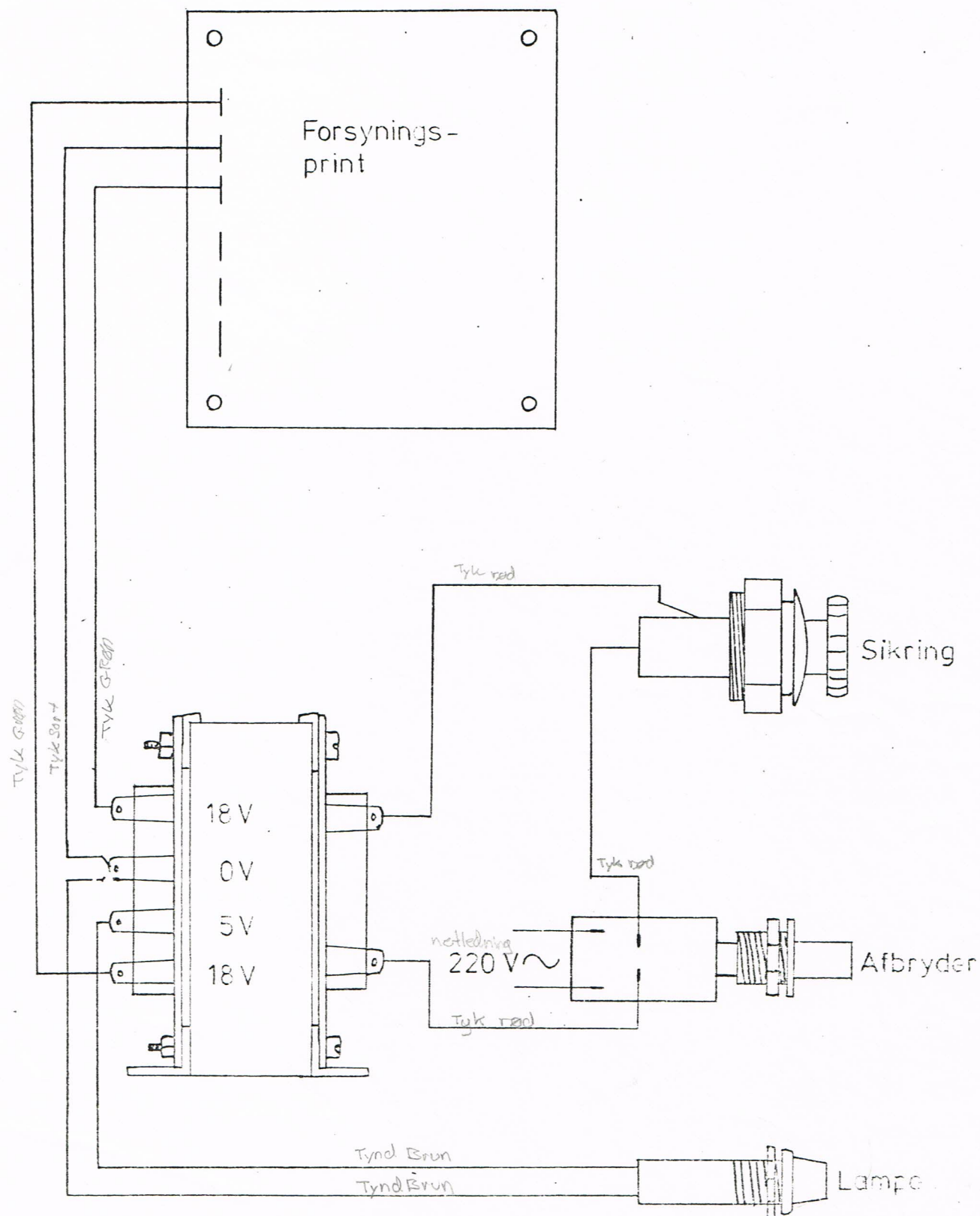
## Komponentplacering

Modstande mærket med X 5%, alle andre 1%.

ATTENUATOR

TALLENE SVARER TIL MODSTANDSKODE





## Underemne: Hovedkabling

Sort : 2-18-22-34-46-47  
 X46-47

Brun : 11-35  
 20-40  
 33-40  
 41-37  
 42-36  
 36-37

Rød : 1-21-31  
 6-38  
 4-39  
 36-40

X 38-36 38-36

Orange: 7-35  
 17-38  
 23-5  
 40-32  
 43-36

Gul : 35-12  
 30-39-40  
~~35-36~~  
 24-5

Grøn : 13-35  
 25-5  
 39-29  
 44-36

Blå : 3-19-26  
 39-4  
 36-37

Violet: 35-8  
 28-39  
 38-37

Grå : 35-9  
 39-27  
 36-37

Hvid : 38-37  
 10-35  
 X45-36 → ØPØIV  
 X38-47

Kablingen udføres i stiv monteringstråd i dimensionen 0,6mm², dog lmm når positionen er markert X.

Løbenummer: \_\_\_\_\_

Kortslut metret og nuljuster dette: Tænd apparatet og kontroller at lampen lyser: Mål forsyningsspændingen:  $+ \frac{14,7V}{14,9V}$ ;  $- \frac{14,7V}{15,3V}$ Kontroller at spændingen ligger inden for tolerancen;  $\pm 0,5V$  Justering (metrets kortslutningsbøjle fjernes):

	reference 10V	O-justering	justering af udslag ved:
V+			
V-			
V~			
mA			
$\Omega$			

Justering defekt: ja  nej Fejl: IngenFejl rettet: Justering i orden: C. Nielsen  
Kontrolant

LF155-A, LF156-A, LF157-A  
LF355-A, LF356-A, LF357-A  
LF355-A, LF356-A, LF357-A

LF155/A, LF156/A, LF157/A, LF355/A, LF356/A, LF357/A

## Advance Information

### MONOLITHIC JFET OPERATIONAL AMPLIFIERS

#### SILICON MONOLITHIC INTEGRATED CIRCUIT

#### TYPICAL CIRCUIT CONNECTIONS

FIGURE 1 - DRIVING CAPACITIVE LOADS

FIGURE 2 - LARGE POWER BANDWIDTH AMPLIFIER

**MONOLITHIC JFET INPUT OPERATIONAL AMPLIFIERS**

These internally compensated operational amplifiers incorporate highly matched JFET transistors on the same chip with standard bipolar transistors. The JFET transistors enhance the input characteristics of these operational amplifiers by more than an order of magnitude over conventional amplifiers.

This series of op amps combines the low initial offset voltage and typical of FET amplifiers with the low initial offset voltage and offset voltage stability of bipolar amplifiers. Also, nulling the offset voltage does not degrade the drift or common mode rejection.

- Low Input Bias Current - 30 pA

- Low Input Offset Current - 3.0 pA

- Low Input Offset Voltage - 1.0 mV

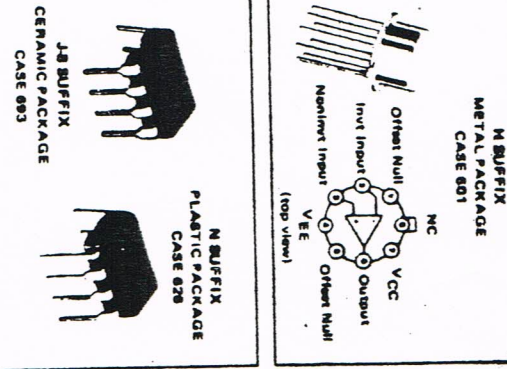
- Temperature Compensation of Input Offset Voltage - 30  $\mu$ V/°C

- Low Input Noise Current - 0.01 pA/ $\sqrt{\text{Hz}}$

- High Input Impedance -  $10^{12}\Omega$

- High Common-Mode Rejection Ratio - 100 dB

- High DC Voltage Gain - 100 dB



Due to a unique output stage design, these amplifiers have the ability to drive large capacitive loads and still maintain stability at  $C_{load} = 0.01 \mu\text{F}$ .  
 $C_{load} < 20\%$   
Settling time ( $t_s$ )  $\approx 5.0 \mu\text{s}$

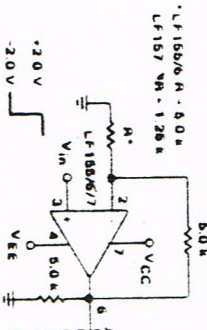


FIGURE 3 - INPUT OFFSET VOLTAGE ADJUSTMENT

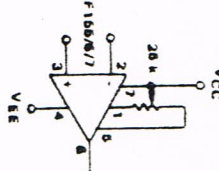
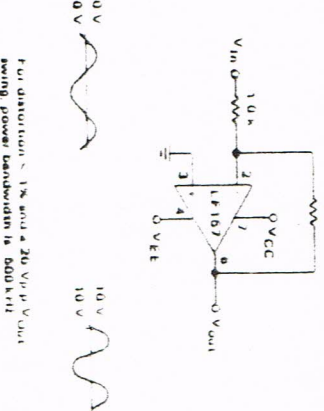


FIGURE 4 - SETTLING TIME TEST CIRCUIT



• Settling time is tested with the LF155/A connected as unity gain follower and LF155/A connected to ground.

• FET used to reduce the positive resistance.

• Output = 10 V step.

\*  $A_v = -6$  for LF155/A

Fast Settling Time to 0.01%  
Fast Settling Rate  
Wide Gain Bandwidth  
Low Input Noise Voltage

4.0  $\mu$ s  
1.5  $\mu$ s  
5.0 V/ $\mu$ s  
2.5 MHz  
20 nV/ $\sqrt{\text{Hz}}$

1.5  $\mu$ s  
50 V/ $\mu$ s  
5.0 MHz  
12 nV/ $\sqrt{\text{Hz}}$

1.5  $\mu$ s  
50 V/ $\mu$ s  
20 MHz  
12 nV/ $\sqrt{\text{Hz}}$

1.5  $\mu$ s  
50 V/ $\mu$ s  
20 MHz  
12 nV/ $\sqrt{\text{Hz}}$

1.5  $\mu$ s  
50 V/ $\mu$ s  
20 MHz  
12 nV/ $\sqrt{\text{Hz}}$

#### APPLICATIONS

The LF series is suggested for all general purpose FET input amplifier requirements where precision and frequency response flexibility are of prime importance.

Specific applications include:

- Sample and Hold Circuits
- High Impedance Buffer
- Fast D/A and A/D Converters
- Precision High Speed Integrators

#### MAXIMUM RATINGS

Rating	Symbol	LF155A, 157A	LF355A, 357A	LF156, 157	LF356, 357	Units
Supply Voltage	VCC	+22	+22	+22	+18	V
	VEE	-22	-22	-22	-18	V
Differential Input Voltage	VID	±40	±40	±40	±30	V
Input Voltage Range (1)	VIDA	±20	±20	±20	±18	V
Output Short-Circuit Duration	I <sub>SC</sub>	Continuous	Continuous	Continuous	Continuous	—
Operating Ambient Temperature Range	T <sub>A</sub>	-65 to +125	0 to +10	-65 to +125	0 to +10	°C
Operating Junction Temperature Range	T <sub>J</sub>	180	100	160	100	°C
Storage Temperature Range	T <sub>STG</sub>	—	—	—	—	°C

\*NOTE: The LF157 series is designed for wider bandwidth applications. The series is compensated (AV min = 5).

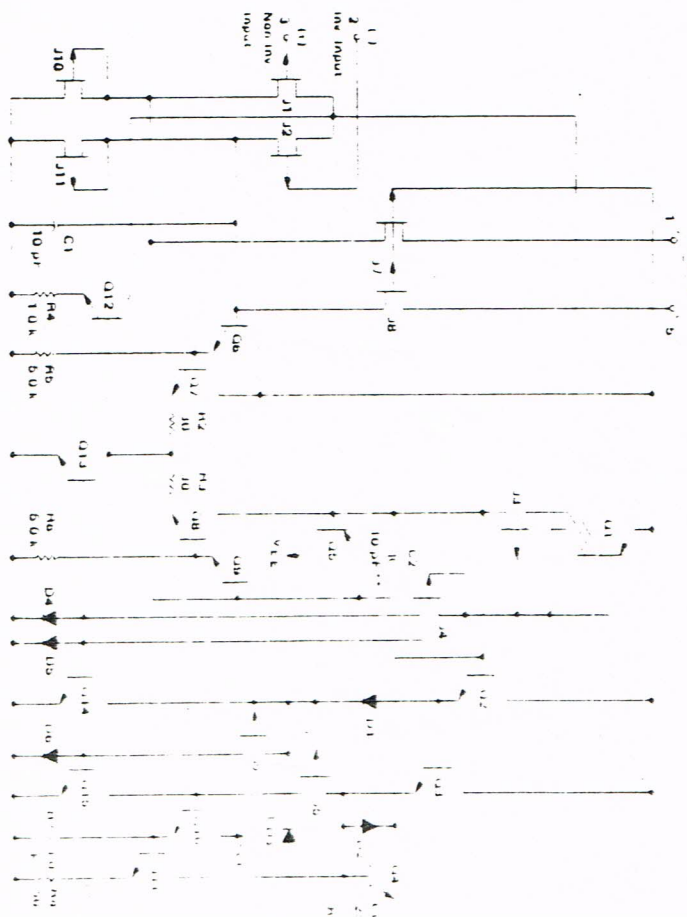
## DC ELECTRICAL CHARACTERISTICS ( $V_{CC} = 15$ to 20 V, $V_{EE} = -15$ to -20 V, $T_A = T_{low}$ to $T_{high}$ )

CLINICAL CHARACTERISTICS

Characteristic	Symbol	LF156A/SA/TA		LF356A/SA/TA		Unit		
		Min	Typ	Min	Typ			
Input Offset Voltage $(I_A = 25^\circ\text{C})$	$V_{IO}$	-	-	2.5	-	-	2.3	mV
Average Temperature Coefficient of Input Offset Voltage $(V_{GS} = 50 \mu\text{V})$	$\Delta V_{IO}/\Delta T$	-	3.0	5.0	-	3.0	5.0	$\mu\text{V}/^\circ\text{C}$
Change in Average TC with VIO Adjust $(R_S = 50 \Omega)$	$\Delta T_C/\Delta V_{IO}$	-	0.5	-	-	0.5	-	$\mu\text{V}/^\circ\text{C}$ per mV
Input Offset Current $(T_J = 25^\circ\text{C})$	$I_O$	-	3.0	10	-	3.0	10	pA
$(T_J = T_{HOP}, V_{CM} = 0)$		-	-	10	-	-	10	nA
Input Bias Current $(T_J = 25^\circ\text{C})$	$I_B$	-	3.0	60	-	3.0	50	pA
$(T_J = T_{HOP}, V_{CM} = 0)$		-	-	25	-	-	5.0	nA
Input Resistance $(T_J = 25^\circ\text{C})$	$R_I$	-	$10^{12}$	-	-	$10^{12}$	-	$\Omega$
Large Signal Voltage Gain $(V_{CC} = 15 \text{ V})$	$A_{VOL}$	25	-	25	-	-	-	V/mV
$(V_{DD} = 1.10 \text{ V}, R_L = 2.0 \text{ k}\Omega, T_A = 25^\circ\text{C})$		60	200	-	60	200	-	
Output Voltage Swing $(V_{CC} = 15 \text{ V}, R_L = 10 \text{ k}\Omega)$	$V_O$	-12	-13	-	-12	-13	-	V
Input Common-Mode Voltage Range $(V_{CC} = 15 \text{ V})$	$V_{ICR}$	-11	+15.1	-	+15.1	-	-	V
Common-Mode Rejection Ratio	$CMRR$	85	100	-	85	100	-	dB
Supply Voltage Rejection Ratio	$PSRR$	85	100	-	85	100	-	dB
Supply Current	$I_D$	-	2.0	4.0	-	2.0	4.0	mA
$LF156A/TA/356A/TA$		-	6.0	7.0	-	6.0	7.0	

AC ELECTRICAL CHARACTERISTICS (V<sub>CC</sub> = 116 V, T<sub>A</sub> = 26°C, unless otherwise noted)

Characteristics	LF185A/386A				LF185A/388A				LF185A/387A				Unit
	Symptom	Min	Typ	Max	Min	Typ	Max	Min	Typ	Max	Min	Typ	
Short Run $(A_{v2} = 1)$ $(A_{v2} = 5)$	LF185A/386A LF185A/387A	5.0	8.0	-	10	12	-	40	60	-	-	-	V/ $\mu$ A
Gain-Bandwidth Product	BWP	-	2.5	-	4.0	4.5	-	15	20	-	-	-	MHz
Settling Time to 0.01% (d)	$t_s$	-	4.0	-	-	1.5	-	-	1.5	-	-	-	$\mu$ s
Equation(s) Input Noise Voltage	$\eta_n$	-	-	-	-	-	-	-	-	-	-	-	nV/ $\sqrt{\text{Hz}}$
$(\eta_S = 100 \text{ fA})$ $(1 = 100 \text{ fA})$ $(1 = 100 \text{ fA})$	-	-	25	-	-	15	-	-	15	-	-	-	-
-	-	-	20	-	-	12	-	-	12	-	-	-	-
Equation(s) Input Noise Current	$\eta_i$	-	0.01	-	-	0.01	-	-	0.01	-	-	-	pA/ $\sqrt{\text{Hz}}$
$(1 = 100 \text{ fA})$ $(1 = 100 \text{ fA})$	-	-	0.01	-	-	0.01	-	-	0.01	-	-	-	-
-	$C_o$	-	3.0	-	-	3.0	-	-	3.0	-	-	-	pF



#### ORDERING INFORMATION

Device	Temperature Range	Package	Device	Temperature Range
LF150H, LF150AH LF150AJ, LF150AJH LF360A, LF360AJ	-55 to +125°C -65 to +125°C 0 to +20°C	Metali Can Ceramic DIP Leaded Li-Polymer	LF150BN, LF150AN LF150AH, LF150AJH LF360B, LF360ABH	0 to +100°C 0 to +100°C 0 to +125°C
LF360B, LF360ABH LF150AJ, LF150AH LF360H, LF360AH	0 to +100°C -65 to +125°C -65 to +125°C	Plastic DIP Ceramic DIP Metali Can	LF150JB, LF151A, 15 LF150H, LF150AH LF360H, LF360AH	0 to +125°C 0 to +100°C 0 to +100°C
LF360H, LF360AH	0 to +100°C	Metali Can	LF150J, LF150AH LF150AJ, LF150AJH	0 to +100°C

## BC546 to 548

### SILICON PLANAR EPITAXIAL TRANSISTORS

General purpose n-p-n transistors in a plastic TO-92 variant, especially suitable for use in driver stages of audio amplifiers.

#### QUICK REFERENCE DATA

	BC546	BC547	BC548
Collector-emitter voltage ( $V_{BE} = 0$ )	$V_{CES}$ max. 80	50	30 V
Collector-emitter voltage (open base)	$V_{CEO}$ max. 65	45	30 V
Collector current (peak value)	$I_{CM}$ max. 200	200	200 mA
Total power dissipation up to $T_{Amb} = 25^\circ\text{C}$	$P_{tot}$ max. 500	500	500 mW
Junction temperature	$T_j$ max. 150	150	150 $^\circ\text{C}$
Small-signal current gain $I_C = 2 \text{ mA}; V_{CE} = 5 \text{ V}; f = 1 \text{ kHz}$	$h_{fe}$ > 500	125	125
Transition frequency $f_T$	typ. 300	300	300 MHz
Noise figure at $R_S = 2 \text{ k}\Omega$	F typ. 2	2	2 dB

RATINGS Limiting values in accordance with the Absolute Maximum System (IEC134)

	BC546	BC547	BC548
Collector-base voltage (open emitter)	$V_{CBO}$ max. 80	50	30 V
Collector-emitter voltage ( $V_{BE} = 0$ )	$V_{CES}$ max. 80	50	30 V
Collector-emitter voltage (open base)	$V_{CEO}$ max. 65	45	30 V
Emitter-base voltage (open collector)	$V_{EBO}$ max. 6	6	5 V

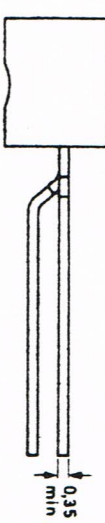
	Current	Temperature
Collector current (d.c.)	$I_C$ max. 100 mA	
Collector current (peak value)	$I_{CM}$ max. 200 mA	
Emitter current (peak value)	$-I_{EM}$ max. 200 mA	
Base current (peak value)	$I_{BM}$ max. 200 mA	
Total power dissipation up to $T_{Amb} = 25^\circ\text{C}$	$P_{tot}$ max. 500 mW	
Temperature		
Storage temperature	$T_{stg}$ -65 to +150 $^\circ\text{C}$	
Junction temperature	$T_j$ max. 150 $^\circ\text{C}$	

	Thermal Resistance from junction to ambient in free air	Thermal Resistance from junction to case
	$R_{th J-A}$ = 0,25 $^\circ\text{C}/\text{mW}$	$R_{th J-C}$ = 0,15 $^\circ\text{C}/\text{mW}$

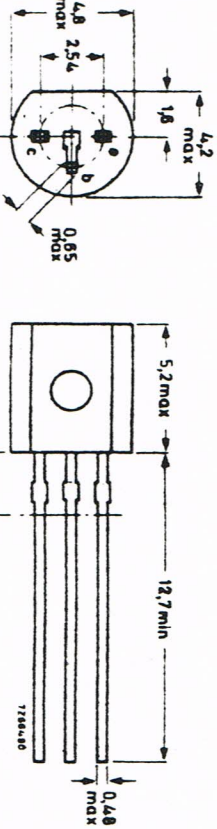
#### MECHANICAL DATA

TO-92 variant

Dimensions in mm



diameter within 2.5max  
is uncontrolled



# BC546 to 548

$T_j = 25^\circ\text{C}$  unless otherwise specified

## CHARACTERISTICS (continued)

$T_j = 25^\circ\text{C}$  unless otherwise specified

### Collector cut-off current

$I_E = 0; V_{CB} = 30\text{ V}$   
 $I_E = 0; V_{CB} = 30\text{ V}; T_j = 150^\circ\text{C}$

### Base-emitter voltage 1)

$I_C = 2\text{ mA}; V_{CE} = 5\text{ V}$   
 $I_C = 10\text{ mA}; V_{CE} = 5\text{ V}$

### Saturation voltage 2)

$I_C = 10\text{ mA}; I_B = 0.5\text{ mA}$

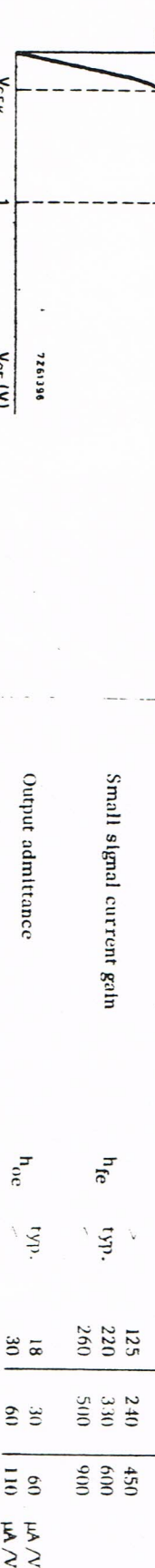
### Knee voltage

$I_C = 10\text{ mA}$  at  $V_{CE} = 1\text{ V}$

### Voltage gain



### Reverse voltage transfer ratio



### Output admittance

### Collector capacitance at $f = 1\text{ MHz}$

$I_E = I_e = 0; V_{CB} = -10\text{ V}$

### Miller capacitance at $f = 1\text{ MHz}$

$I_C = I_e = 0; V_{EB} = 0.5\text{ V}$

### Transition frequency at $f = 35\text{ MHz}$

$I_C = 10\text{ mA}; V_{CE} = 5\text{ V}$

1) VBE decreases by about  $2\text{ mV}/^\circ\text{C}$  with increasing temperature.

### Small signal current gain at $f = 1\text{ kHz}$

$I_C = 2\text{ mA}; V_{CE} = 5\text{ V}$   
Note: figure at  $R_S = 2\text{ k}\Omega$

$I_C = 200\text{ }\mu\text{A}; V_{CE} = 5\text{ V}$   
 $f = 1\text{ kHz}; B = 200\text{ Hz}$

	BC546	BC547	BC548
$h_{fe}$	125 500	125 900	125 900
$F$	typ. 2	typ. 2	typ. 2
	10	10	10
	dB	dB	dB

	BC546A	BC546B	BC547C
$h_{FE}$	typ. 90	typ. 150	typ. 270
$V_{BEsat}$	typ. 700	typ. 700	typ. 700

	BC547A	BC547B	BC548C
$h_{FE}$	typ. 140	typ. 200	typ. 420
$V_{CEsat}$	typ. 600	typ. 600	typ. 520

	BC548A	BC548B
$h_{FE}$	typ. 180	typ. 290
$V_{BEsat}$	typ. 900	typ. 800

### h parameters at $f = 1\text{ kHz}$ (common emitter)

$I_C = 2\text{ mA}; V_{CE} = 5\text{ V}$

	1.6	3.2	6
$h_{re}$	typ. 2.7	typ. 4.5	typ. 8.7
$h_{fe}$	typ. 4.5	typ. 8.5	typ. 15
$h_{oe}$	typ. 8.5	typ. 15	$\text{k}\Omega$

### Input impedance

	$10^{-4}$
$h_{re}$	typ. 2

### Small signal current gain

	125	240	450
$h_{fe}$	typ. 220	typ. 330	typ. 600
$h_{oe}$	typ. 260	typ. 500	typ. 900
$V_{CE}$ (V)	726.196	726.196	726.196

# BC546 to 548

500

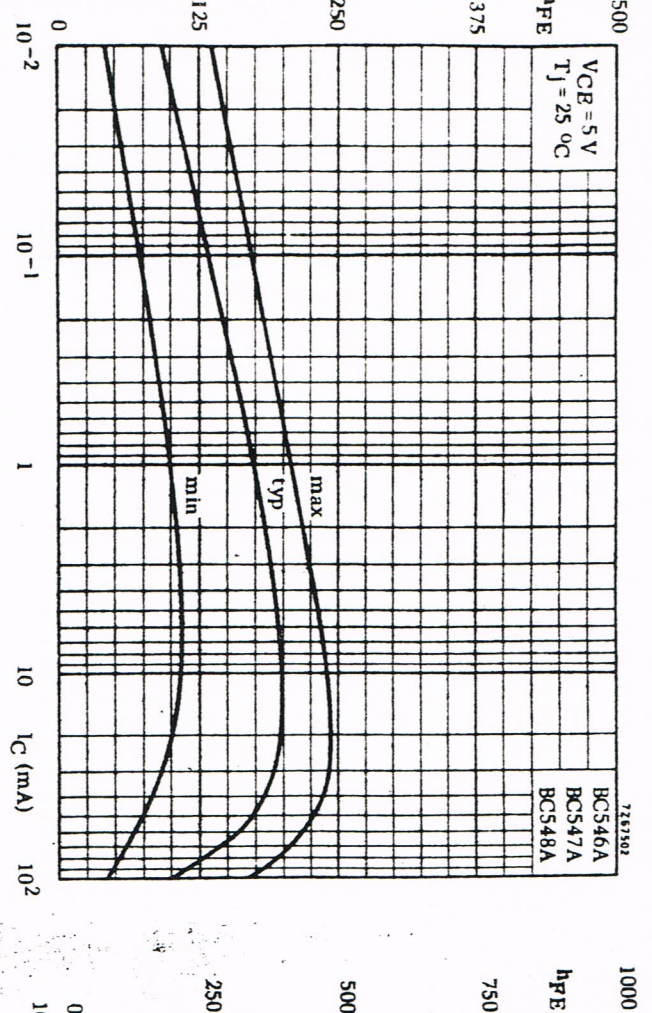
V<sub>CB</sub> = 5 V  
T<sub>J</sub> = 25 °C  
FE

V<sub>CE</sub> = 5 V  
T<sub>J</sub> = 25 °C  
 $h_{FE}$

7241501

BC546A  
BC547A  
BC548A

BC547C  
BC548C



V<sub>CB</sub> = 5 V  
T<sub>J</sub> = 25 °C  
FE

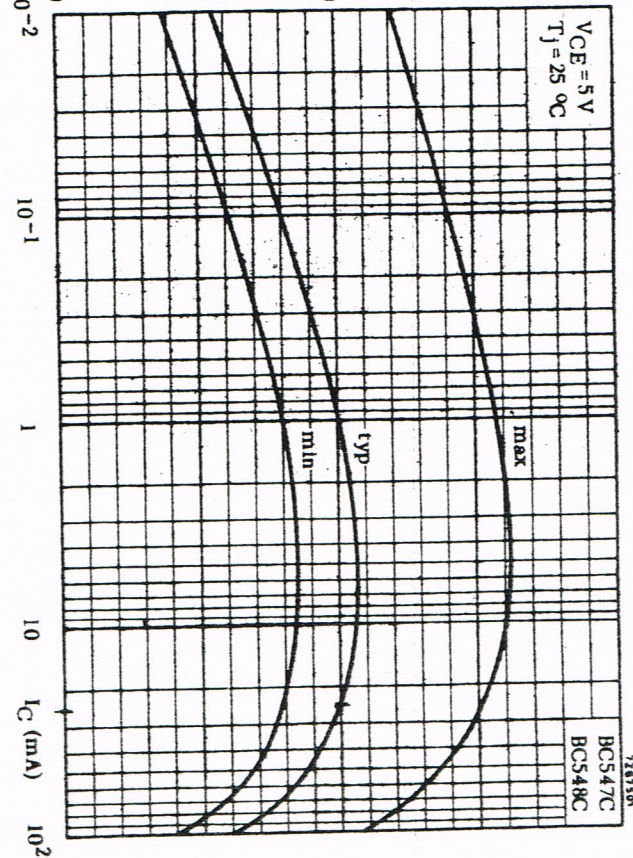
7241502

BC546B  
BC547B  
BC548B

V<sub>CE</sub> = 5 V  
T<sub>J</sub> = 25 °C  
 $h_{FE}$

BC546A  
BC547A  
BC548A

7241500



V<sub>CB</sub> = 5 V  
T<sub>J</sub> = 25 °C  
FE

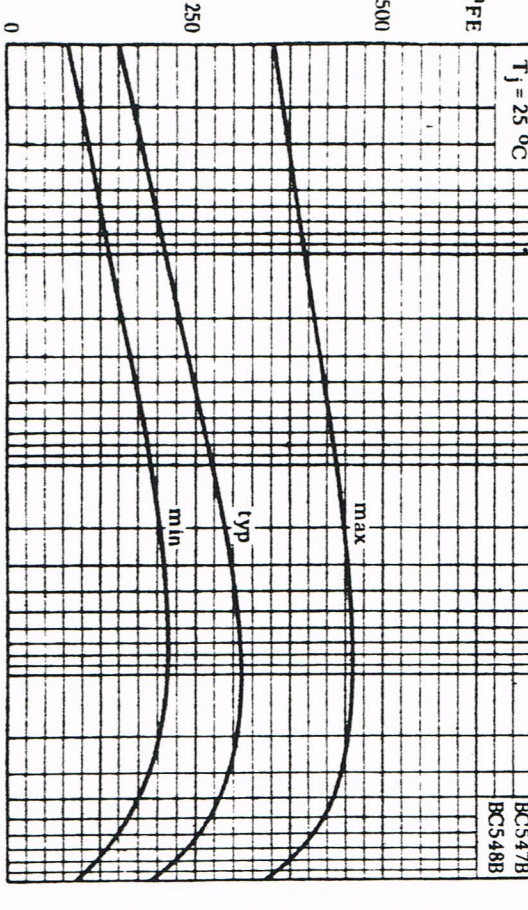
7241500

BC546B  
BC547B  
BC548B

V<sub>CE</sub> = 5 V  
T<sub>J</sub> = 25 °C  
 $h_{FE}$

BC546A  
BC547A  
BC548A

500



V<sub>CB</sub> = 5 V  
T<sub>J</sub> = 25 °C  
FE

BC546B  
BC547B  
BC548B

V<sub>CE</sub> = 5 V  
T<sub>J</sub> = 25 °C  
 $h_{FE}$

BC546A  
BC547A  
BC548A

500



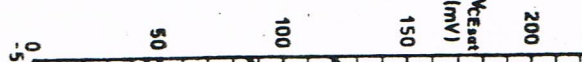
V<sub>CB</sub> = 5 V  
T<sub>J</sub> = 25 °C  
FE

BC546B  
BC547B  
BC548B

V<sub>CE</sub> = 5 V  
T<sub>J</sub> = 25 °C  
 $h_{FE}$

BC546A  
BC547A  
BC548A

500



V<sub>CB</sub> = 5 V  
T<sub>J</sub> = 25 °C  
FE

BC546B  
BC547B  
BC548B

V<sub>CE</sub> = 5 V  
T<sub>J</sub> = 25 °C  
 $h_{FE}$

BC546A  
BC547A  
BC548A

500



V<sub>CB</sub> = 5 V  
T<sub>J</sub> = 25 °C  
FE

BC546B  
BC547B  
BC548B

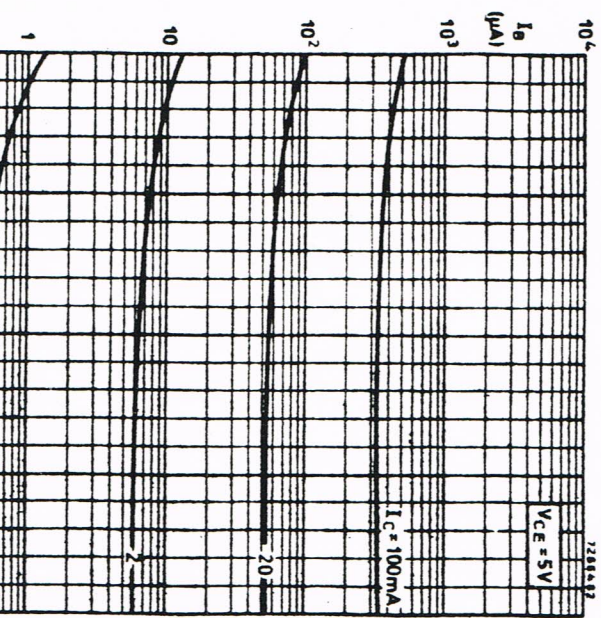
V<sub>CE</sub> = 5 V  
T<sub>J</sub> = 25 °C  
 $h_{FE}$

BC546A  
BC547A  
BC548A

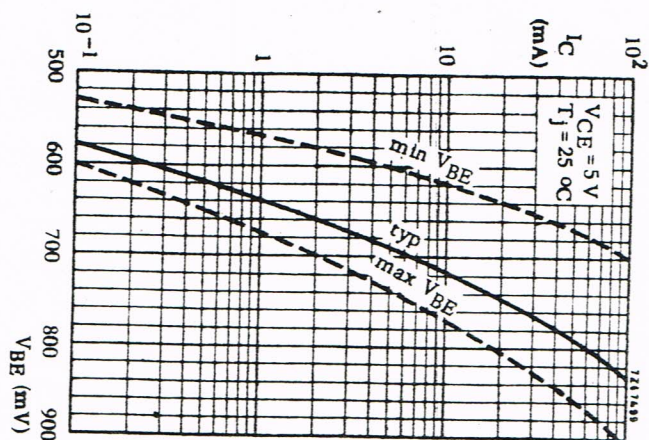
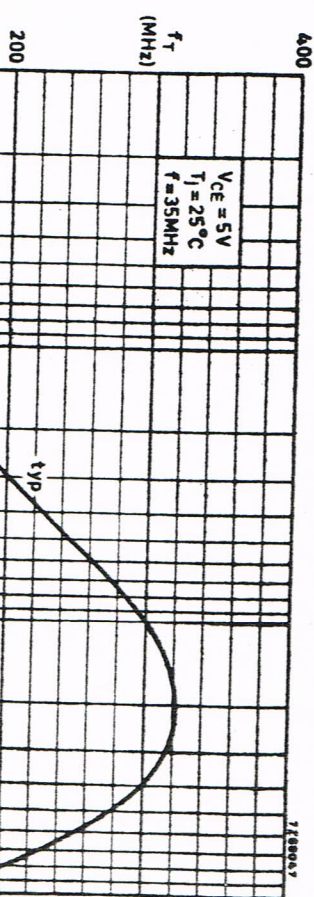
500



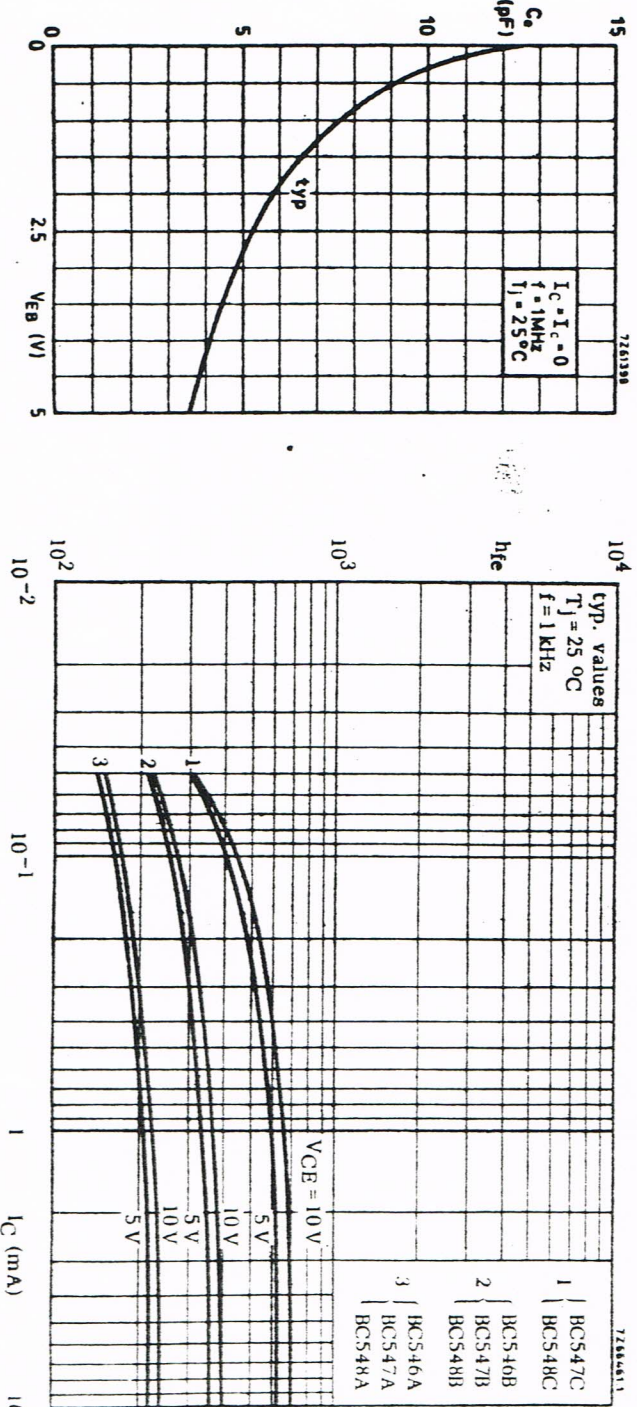
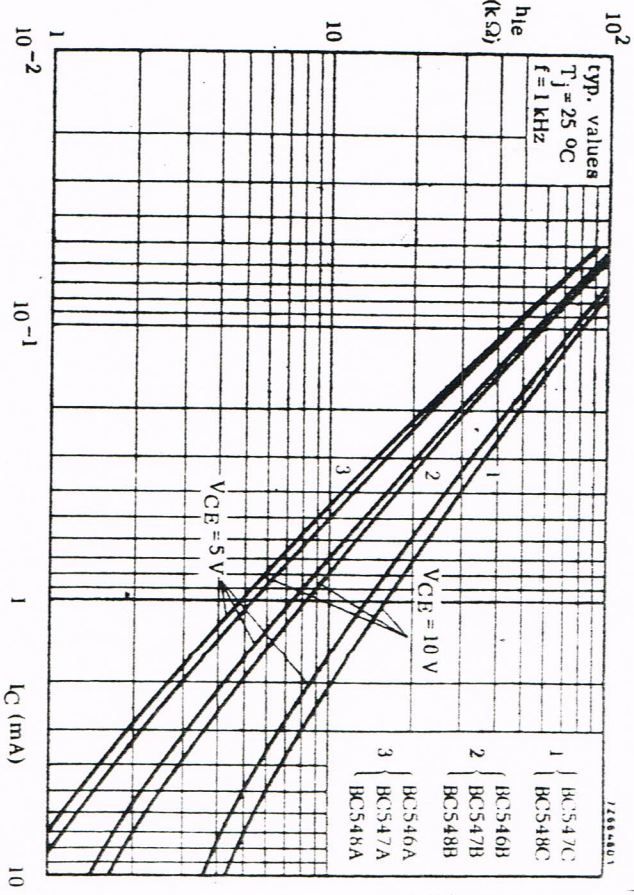
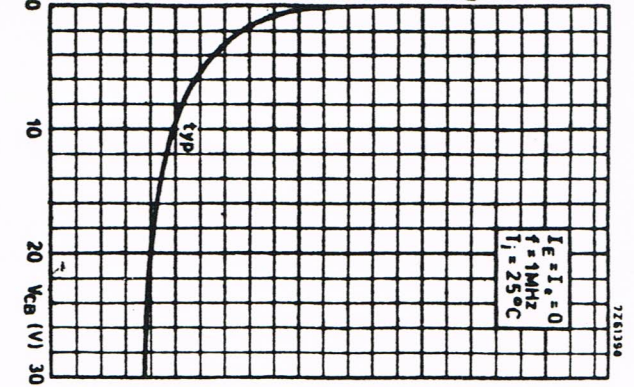
## BC546 to 548



Typical behaviour of base current versus junction temperature



## BC546 to 548



# LM79LXXAC Series 3-Terminal Negative Regulators

## General Description

The LM79LXXAC series of 3-terminal negative voltage regulators features fixed output voltages of -5V, -12V, -15V, -18V and -24V with output current capabilities in excess of 100 mA. These devices were designed using the latest computer techniques for optimizing the packaged IC thermal/electrical performance. The LM79LXXAC series, even when combined with a minimum output compensation capacitor of 0.1  $\mu$ F, exhibits excellent transient response, a maximum line regulation of 0.07% V<sub>O</sub>/V, and a maximum load regulation of 0.01% V<sub>O</sub>/mA.

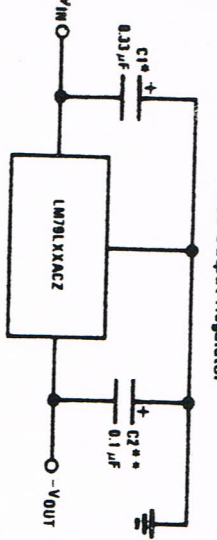
The LM79LXXAC series also includes, as self-protection circuitry, safe operating area circuitry for output transistor or power dissipation limiting, a temperature independent short circuit current limit for peak output current limiting, and a thermal shutdown circuit to prevent excessive junction temperature. Although designed primarily as fixed voltage regulators, these devices may be

combined with simple external circuitry for boosted and/or adjustable voltages and currents. The LM79LXXAC series is available in the 3-lead TO-92 package.

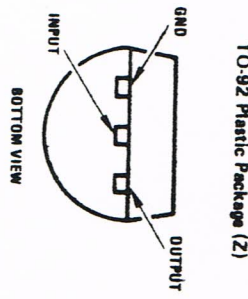
## Features

- Preset output voltage error is less than  $\pm 5\%$  over load, line and temperature
- Specified at an output current of 100 mA
- Easily compensated with a small 0.1  $\mu$ F output capacitor
- Internal short circuit, thermal and safe operating area protection
- Easily adjustable to higher output voltages
- Maximum line regulation less than 0.07% V<sub>O</sub>/V
- Maximum load regulation less than 0.01% V<sub>O</sub>/mA
- TO-92 package

## Connection Diagram



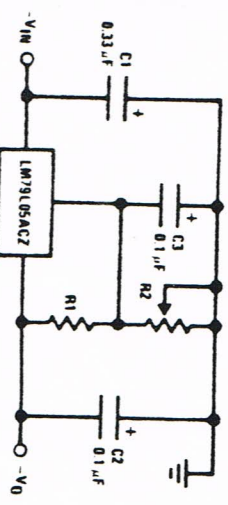
Fixed Output Regulator



TO-92 Plastic Package (Z)

\* Required if the regulator is located far from the power supply filter. A 1  $\mu$ F aluminum electrolytic may be substituted.  
\*\* Required for stability. A 1  $\mu$ F aluminum electrolytic may be substituted.

## Adjustable Output Regulator



$V_{IN} = -5V - (-18V/R_1 + I_O) \cdot R_2$

$-15V - (-18V/R_1 + I_O) \cdot R_2$

$-18V - (-18V/R_1 + I_O) \cdot R_2$

$-24V - (-18V/R_1 + I_O) \cdot R_2$

$-29V - (-18V/R_1 + I_O) \cdot R_2$

$-32V - (-18V/R_1 + I_O) \cdot R_2$

$-35V - (-18V/R_1 + I_O) \cdot R_2$

$-40V - (-18V/R_1 + I_O) \cdot R_2$

$-45V - (-18V/R_1 + I_O) \cdot R_2$

$-50V - (-18V/R_1 + I_O) \cdot R_2$

$-55V - (-18V/R_1 + I_O) \cdot R_2$

$-60V - (-18V/R_1 + I_O) \cdot R_2$

$-65V - (-18V/R_1 + I_O) \cdot R_2$

$-70V - (-18V/R_1 + I_O) \cdot R_2$

$-75V - (-18V/R_1 + I_O) \cdot R_2$

$-80V - (-18V/R_1 + I_O) \cdot R_2$

$-85V - (-18V/R_1 + I_O) \cdot R_2$

$-90V - (-18V/R_1 + I_O) \cdot R_2$

$-95V - (-18V/R_1 + I_O) \cdot R_2$

$-100V - (-18V/R_1 + I_O) \cdot R_2$

$-105V - (-18V/R_1 + I_O) \cdot R_2$

$-110V - (-18V/R_1 + I_O) \cdot R_2$

$-115V - (-18V/R_1 + I_O) \cdot R_2$

$-120V - (-18V/R_1 + I_O) \cdot R_2$

$-125V - (-18V/R_1 + I_O) \cdot R_2$

$-130V - (-18V/R_1 + I_O) \cdot R_2$

$-135V - (-18V/R_1 + I_O) \cdot R_2$

$-140V - (-18V/R_1 + I_O) \cdot R_2$

$-145V - (-18V/R_1 + I_O) \cdot R_2$

$-150V - (-18V/R_1 + I_O) \cdot R_2$

$-155V - (-18V/R_1 + I_O) \cdot R_2$

$-160V - (-18V/R_1 + I_O) \cdot R_2$

$-165V - (-18V/R_1 + I_O) \cdot R_2$

$-170V - (-18V/R_1 + I_O) \cdot R_2$

$-175V - (-18V/R_1 + I_O) \cdot R_2$

$-180V - (-18V/R_1 + I_O) \cdot R_2$

$-185V - (-18V/R_1 + I_O) \cdot R_2$

$-190V - (-18V/R_1 + I_O) \cdot R_2$

$-195V - (-18V/R_1 + I_O) \cdot R_2$

$-200V - (-18V/R_1 + I_O) \cdot R_2$

$-205V - (-18V/R_1 + I_O) \cdot R_2$

$-210V - (-18V/R_1 + I_O) \cdot R_2$

$-215V - (-18V/R_1 + I_O) \cdot R_2$

$-220V - (-18V/R_1 + I_O) \cdot R_2$

$-225V - (-18V/R_1 + I_O) \cdot R_2$

$-230V - (-18V/R_1 + I_O) \cdot R_2$

$-235V - (-18V/R_1 + I_O) \cdot R_2$

$-240V - (-18V/R_1 + I_O) \cdot R_2$

$-245V - (-18V/R_1 + I_O) \cdot R_2$

$-250V - (-18V/R_1 + I_O) \cdot R_2$

$-255V - (-18V/R_1 + I_O) \cdot R_2$

$-260V - (-18V/R_1 + I_O) \cdot R_2$

$-265V - (-18V/R_1 + I_O) \cdot R_2$

$-270V - (-18V/R_1 + I_O) \cdot R_2$

$-275V - (-18V/R_1 + I_O) \cdot R_2$

$-280V - (-18V/R_1 + I_O) \cdot R_2$

$-285V - (-18V/R_1 + I_O) \cdot R_2$

$-290V - (-18V/R_1 + I_O) \cdot R_2$

$-295V - (-18V/R_1 + I_O) \cdot R_2$

$-300V - (-18V/R_1 + I_O) \cdot R_2$

$-305V - (-18V/R_1 + I_O) \cdot R_2$

$-310V - (-18V/R_1 + I_O) \cdot R_2$

$-315V - (-18V/R_1 + I_O) \cdot R_2$

$-320V - (-18V/R_1 + I_O) \cdot R_2$

$-325V - (-18V/R_1 + I_O) \cdot R_2$

$-330V - (-18V/R_1 + I_O) \cdot R_2$

$-335V - (-18V/R_1 + I_O) \cdot R_2$

$-340V - (-18V/R_1 + I_O) \cdot R_2$

$-345V - (-18V/R_1 + I_O) \cdot R_2$

$-350V - (-18V/R_1 + I_O) \cdot R_2$

$-355V - (-18V/R_1 + I_O) \cdot R_2$

$-360V - (-18V/R_1 + I_O) \cdot R_2$

$-365V - (-18V/R_1 + I_O) \cdot R_2$

$-370V - (-18V/R_1 + I_O) \cdot R_2$

$-375V - (-18V/R_1 + I_O) \cdot R_2$

$-380V - (-18V/R_1 + I_O) \cdot R_2$

$-385V - (-18V/R_1 + I_O) \cdot R_2$

$-390V - (-18V/R_1 + I_O) \cdot R_2$

$-395V - (-18V/R_1 + I_O) \cdot R_2$

$-400V - (-18V/R_1 + I_O) \cdot R_2$

$-405V - (-18V/R_1 + I_O) \cdot R_2$

$-410V - (-18V/R_1 + I_O) \cdot R_2$

$-415V - (-18V/R_1 + I_O) \cdot R_2$

$-420V - (-18V/R_1 + I_O) \cdot R_2$

$-425V - (-18V/R_1 + I_O) \cdot R_2$

$-430V - (-18V/R_1 + I_O) \cdot R_2$

$-435V - (-18V/R_1 + I_O) \cdot R_2$

$-440V - (-18V/R_1 + I_O) \cdot R_2$

$-445V - (-18V/R_1 + I_O) \cdot R_2$

$-450V - (-18V/R_1 + I_O) \cdot R_2$

$-455V - (-18V/R_1 + I_O) \cdot R_2$

$-460V - (-18V/R_1 + I_O) \cdot R_2$

$-465V - (-18V/R_1 + I_O) \cdot R_2$

$-470V - (-18V/R_1 + I_O) \cdot R_2$

$-475V - (-18V/R_1 + I_O) \cdot R_2$

$-480V - (-18V/R_1 + I_O) \cdot R_2$

$-485V - (-18V/R_1 + I_O) \cdot R_2$

$-490V - (-18V/R_1 + I_O) \cdot R_2$

$-495V - (-18V/R_1 + I_O) \cdot R_2$

$-500V - (-18V/R_1 + I_O) \cdot R_2$

$-505V - (-18V/R_1 + I_O) \cdot R_2$

$-510V - (-18V/R_1 + I_O) \cdot R_2$

$-515V - (-18V/R_1 + I_O) \cdot R_2$

$-520V - (-18V/R_1 + I_O) \cdot R_2$

$-525V - (-18V/R_1 + I_O) \cdot R_2$

$-530V - (-18V/R_1 + I_O) \cdot R_2$

$-535V - (-18V/R_1 + I_O) \cdot R_2$

$-540V - (-18V/R_1 + I_O) \cdot R_2$

$-545V - (-18V/R_1 + I_O) \cdot R_2$

$-550V - (-18V/R_1 + I_O) \cdot R_2$

$-555V - (-18V/R_1 + I_O) \cdot R_2$

$-560V - (-18V/R_1 + I_O) \cdot R_2$

$-565V - (-18V/R_1 + I_O) \cdot R_2$

$-570V - (-18V/R_1 + I_O) \cdot R_2$

$-575V - (-18V/R_1 + I_O) \cdot R_2$

$-580V - (-18V/R_1 + I_O) \cdot R_2$

$-585V - (-18V/R_1 + I_O) \cdot R_2$

$-590V - (-18V/R_1 + I_O) \cdot R_2$

$-595V - (-18V/R_1 + I_O) \cdot R_2$

$-600V - (-18V/R_1 + I_O) \cdot R_2$

$-605V - (-18V/R_1 + I_O) \cdot R_2$

$-610V - (-18V/R_1 + I_O) \cdot R_2$

$-615V - (-18V/R_1 + I_O) \cdot R_2$

$-620V - (-18V/R_1 + I_O) \cdot R_2$

$-625V - (-18V/R_1 + I_O) \cdot R_2$

$-630V - (-18V/R_1 + I_O) \cdot R_2$

$-635V - (-18V/R_1 + I_O) \cdot R_2$

$-640V - (-18V/R_1 + I_O) \cdot R_2$

$-645V - (-18V/R_1 + I_O) \cdot R_2$

$-650V - (-18V/R_1 + I_O) \cdot R_2$

$-655V - (-18V/R_1 + I_O) \cdot R_2$

$-660V - (-18V/R_1 + I_O) \cdot R_2$

$-665V - (-18V/R_1 + I_O) \cdot R_2$

$-670V - (-18V/R_1 + I_O) \cdot R_2$

$-675V - (-18V/R_1 + I_O) \cdot R_2$

$-680V - (-18V/R_1 + I_O) \cdot R_2$

$-685V - (-18V/R_1 + I_O) \cdot R_2$

$-690V - (-18V/R_1 + I_O) \cdot R_2$

$-695V - (-18V/R_1 + I_O) \cdot R_2$

$-700V - (-18V/R_1 + I_O) \cdot R_2$

$-705V - (-18V/R_1 + I_O) \cdot R_2$

$-710V - (-18V/R_1 + I_O) \cdot R_2$

$-715V - (-18V/R_1 + I_O) \cdot R_2$

$-720V - (-18V/R_1 + I_O) \cdot R_2$

$-725V - (-18V/R_1 + I_O) \cdot R_2$

$-730V - (-18V/R_1 + I_O) \cdot R_2$

$-735V - (-18V/R_1 + I_O) \cdot R_2$

$-740V - (-18V/R_1 + I_O) \cdot R_2$

$-745V - (-18V/R_1 + I_O) \cdot R_2$

$-750V - (-18V/R_1 + I_O) \cdot R_2$

$-755V - (-18V/R_1 + I_O) \cdot R_2$

$-760V - (-18V/R_1 + I_O) \cdot R_2$

$-765V - (-18V/R_1 + I_O) \cdot R_2$

$-770V - (-18V/R_1 + I_O) \cdot R_2$

$-775V - (-18V/R_1 + I_O) \cdot R_2$

$-780V - (-18V/R_1 + I_O) \cdot R_2$

$-785V - (-18V/R_1 + I_O) \cdot R_2$

$-790V - (-18V/R_1 + I_O) \cdot R_2$

$-795V - (-18V/R_1 + I_O) \cdot R_2$

$-800V - (-18V/R_1 + I_O) \cdot R_2$

$-805V - (-18V/R_1 + I_O) \cdot R_2$

$-810V - (-18V/R_1 + I_O) \cdot R_2$

$-815V - (-18V/R_1 + I_O) \cdot R_2$

$-820V - (-18V/R_1 + I_O) \cdot R_2$

$-825V - (-18V/R_1 + I_O) \cdot R_2$

$-830V - (-18V/R_1 + I_O) \cdot R_2$

$-835V - (-18V/R_1 + I_O) \cdot R_2$

$-840V - (-18V/R_1 + I_O) \cdot R_2$

$-845V - (-18V/R_1 + I_O) \cdot R_2$

$-850V - (-18V/R_1 + I_O) \cdot R_2$

$-855V - (-18V/R_1 + I_O) \cdot R_2$

$-860V - (-18V/R_1 + I_O) \cdot R_2$

$-865V - (-18V/R_1 + I_O) \cdot R_2$

$-870V - (-18V/R_1 + I_O) \cdot R_2$

$-875V - (-18V/R_1 + I_O) \cdot R_2$

$-880V - (-18V/R_1 + I_O) \cdot R_2$

$-885V - (-18V/R_1 + I_O) \cdot R_2$

$-890V - (-18V/R_1 + I_O) \cdot R_2$

$-895V - (-18V/R_1 + I_O) \cdot R_2$

$-900V - (-18V/R_1 + I_O) \cdot R_2$

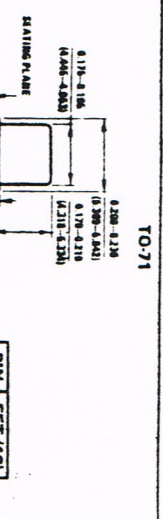
$-905V - (-18V/R_1 + I_O) \cdot R_2$

$-910V - (-18V/R_$

# 2N3956-58 N-Channel Monolithic Dual JFETs

## General Description

The 2N3956 thru 2N3958 series of N-channel monolithic dual JFETs is designed for low to medium frequency differential amplifier applications requiring tight match, low noise and high common-mode rejection.

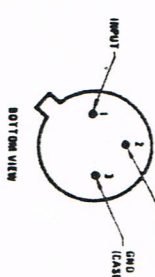


Absolute Maximum Ratings (25°C)	-60V ±50 mV	50 mA	500 mW	2.86 mW/°C	4.3 mW/°C	-65°C to +200°C	300°C
Gate-Drain or Gate-Source Voltage	-60V						
Gate Current							
Total Device Dissipation 85°C (Each Side)	250 mW						
Case Temperature (Both Sides)	500 mW						
Power Derating (Each Side) (Both Sides)	2.86 mW/°C						
Storage Temperature Range and Temperature (1/16" from case for 10 seconds)	-65°C to +200°C						

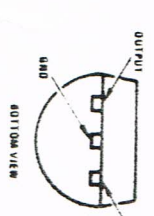
## Electrical Characteristics (25°C unless otherwise noted)

PARAMETER	CONDITIONS		2N3956		2N3957		2N3958		UNITS
	MIN	MAX	MIN	MAX	MIN	MAX	MIN	MAX	
Gate Reverse Current	VGS = -30V, VDS = 0		-100	-100	-100	-100	-100	-100	0A
VGS	Gate-Source Breakdown Voltage	VDS = 0V, IG = 1μA	-50	-50	-50	-50	-50	-50	mA
GDS (GDS)	Gate-Source Forward Voltage	VDS = 20V, ID = 1mA	-1.0	-4.5	-1.0	-4.5	-1.0	-4.5	V
GDS	Gate-Source Voltage	VDS = 0V, IG = 1mA	2.0	2.0	2.0	2.0	2.0	2.0	V
GDS	Gate Operating Current	VDS = 20V, ID = 200μA	-0.5	-4.0	-0.5	-4.0	-0.5	-4.0	μA
GDS	Saturation Drain Current	VDS = 20V, VGS = 0	0.5	5.0	0.5	5.0	0.5	5.0	mA
GDS	Common-Source Forward Transconductance	I = 1 kHz	1000	3000	1000	3000	1000	3000	μmho
GDS	Common-Source Output Conductance	I = 200 MHz	1000	3000	1000	3000	1000	3000	μmho
GDS	Common-Source Input Capacitance	I = 1 kHz	35	36	35	36	35	36	μF
GDS	Common-Source Reverse Transfer Capacitance	I = 1 MHz	4.0	4.0	4.0	4.0	4.0	4.0	μF
GDS	Drain-Drain Capacitance	I = 100 Hz	1.2	1.2	1.2	1.2	1.2	1.2	μF
GDS	Common-Source Spot Noise Figure	VDS = 20V, VGS = 0, RG = 10 MΩ	1.5	1.5	1.5	1.5	1.5	1.5	dB
GDS	Differential Gate Reverse Current	VDS = 20V, ID = 200 μA, T = 125°C	10	10	10	10	10	10	nA
GDS	Saturation Drain Current Ratio	VDS = 20V, VGS = 0	0.95	1.0	0.90	1.0	0.85	1.0	-
GDS	Differential Gate Source Voltage	VDS = 20V, ID = 200 μA	1	1	1	1	1	1	-
GDS	Differential Change With Temperature	T = 25°C to 55°C	4.0	6.0	8.0	10.0	12.0	14.0	mV
GDS		T = 25°C to 125°C	6.0	7.6	10.0	10.0	10.0	10.0	-

## Connection diagrams



Metal Can Package



Plastic Package

## Order Numbers

LM78L05ACZ	LM78L05CH
LM78L06ACZ	LM78L06CH
LM78L08ACZ	LM78L08CH
LM78L10ACZ	LM78L10CH
LM78L12ACZ	LM78L12CH
LM78L15ACZ	LM78L15CH
LM78L18ACZ	LM78L18CH
LM78L24ACZ	LM78L24CH

Order Numbers:  
 LM78L05ACZ LM78L05CH  
 LM78L06ACZ LM78L06CH  
 LM78L08ACZ LM78L08CH  
 LM78L10ACZ LM78L10CH  
 LM78L12ACZ LM78L12CH  
 LM78L15ACZ LM78L15CH  
 LM78L18ACZ LM78L18CH  
 LM78L24ACZ LM78L24CH  
 See NS Package Z03A

## general description

The LM78LXX series of three terminal positive regulators is available with several fixed output voltages making them useful in a wide range of applications. When used as a zener diode/resistor combination replacement, the LM78LXX usually results in an effective output impedance improvement of two orders of magnitude, and lower quiescent current. These regulators can provide local on card regulation, eliminating the distribution problems associated with single point regulation.

The voltages available allow the LM78LXX to be used in logic systems, instrumentation, HiFi, and other solid state electronic equipment. Although designed primarily as fixed voltage regulators, these devices can be used with external components to obtain adjustable voltages and currents.

too high for the heat sinking provided, the thermal shutdown circuit takes over preventing the IC from overheating.

## features

- Output voltage tolerances of ±10% (LM78LXXAC) and ±10% (LM78LXXC) over the temperature range
- Output current of 100 mA
- Internal thermal overload protection
- Internal short circuit current limit
- Available in plastic TO-92 and metal TO-39 low profile packages

## Voltage range

LM78L05	5V	LM78L12	12V
LM78L08	6V	LM78L15	15V
LM78L10	8V	LM78L18	18V
LM78L10	10V	LM78L24	24V

## LM78LXX series 3-terminal positive regulators

Output Voltage	$V_O = 5V$ to $8V$	30V	Maximum Junction Temperature	125°C
	$V_O = 12V$ to $18V$	35V	Storage Temperature Range	-65°C to +150°C
	$V_O = 24V$	40V	Metal Can (H Package)	-55°C to +150°C
Internal Power Dissipation (Note 1)	Internally Limited	0°C to +70°C	Molded TO-92	Lead Temperature (Soldering, 10 seconds)
Operating Temperature Range				300°C

## 78LXXC electrical characteristics (Note 2) $T_J = 0^\circ C$ to $+125^\circ C$ , $I_O = 40$ mA, $C_{IN} = 0.33\mu F$ , $C_O = 0.1\mu F$ (unless noted)

78LXXC OUTPUT VOLTAGE		5V	6V	8V	10V	12V	15V	18V	24V	UNITS			
IUT VOLTAGE (unless otherwise noted)		10V	11V	14V	17V	19V	23V	27V	33V				
PARAMETER	CONDITIONS	MIN	TYP	MAX	MIN	TYP	MAX	MIN	TYP	MAX	MIN	TYP	MAX
Output Voltage (Note 4)	$T_J = 25^\circ C$	4.6	5	5.4	5.5	6	6.5	7.36	8	8.64	9.2	10	10.8
	$1mA \leq I_O \leq 70$ mA or $1mA \leq I_O \leq 40$ mA and $\Delta V_{IN}$	4.5	5.5	5.4	6.6	7.2	8.8	9.0	11	10.8	12	12.8	13.8
Line Regulation	$T_J = 25^\circ C$	10	150	10	150	12	150	16	175	20	200	25	250
	$(8 \leq V_{IN} \leq 20)$					(19 $\leq V_{IN} \leq 21$ )	(11 $\leq V_{IN} \leq 23$ )	(14 $\leq V_{IN} \leq 26$ )	(16 $\leq V_{IN} \leq 27$ )	(20 $\leq V_{IN} \leq 30$ )	(22 $\leq V_{IN} \leq 33$ )	(28 $\leq V_{IN} \leq 38$ )	mV
		18	200	18	200	20	200	25	225	30	250	30	300
Load Regulation	$T_J = 25^\circ C$ 1 mA $\leq I_O \leq 40$ mA	5	30	6	35	8	40	9	45	10	50	12	75
	$T_J = 25^\circ C$ 1 mA $\leq I_O \leq 100$ mA	20	60	22	70	25	80	27	90	30	100	35	150
Long Term Stability		12		15		20		22		24		30	
Quiescent Current	$T_J = 25^\circ C$	3	6	3	6	3	6	3	6.5	3	6.5	3.1	6.5
	$T_J = 125^\circ C$		5.5		5.5		5.5		6		6	3.1	6.5
Quiescent Current	$T_J = 25^\circ C$ 1 mA $\leq I_O \leq 40$ mA	0.2		0.2		0.2		0.2		0.2		0.2	
Change	$T_J = 25^\circ C$	1.5		1.5		1.5		1.5		1.5		1.5	
Output Noise Voltage	$T_J = 25^\circ C$ (Note 3) $f = 10$ Hz - 10 kHz	40		50		60		70		80		90	
Ripple Rejection	$f = 125$ Hz	40	80	38	58	36	55	36	53	36	52	33	49
	$(8 \leq V_{IN} \leq 18)$			(19 $\leq V_{IN} \leq 19$ )	(11 $\leq V_{IN} \leq 23$ )	(14 $\leq V_{IN} \leq 25$ )	(16 $\leq V_{IN} \leq 27$ )	(18.5 $\leq V_{IN} \leq 28.5$ )	(23 $\leq V_{IN} \leq 33$ )	(28 $\leq V_{IN} \leq 35$ )		32	46
Input Voltage Required to Maintain Line Regulation	$T_J = 25^\circ C$	7		8.3		10.5		13		14.5		18	

- 1: Thermal resistance of the Metal Can Package (H) without a heat sink is  $15^\circ C/W$  junction to case and  $140^\circ C/W$  junction to ambient. Thermal resistance of the TO-92 package is  $180^\circ C/W$  junction to ambient with 0.4" leads from a PC board and  $160^\circ C/W$  junction to ambient with 0.125" lead length to a PC board.
- 2: The maximum steady state usable output current and input voltage are very dependent on the heat sinking and/or lead length of the package. The data above represent pulse test conditions with junction temperatures as indicated at the initiation of test.
- 3: Recommended minimum load capacitance of  $0.01\mu F$  to limit high frequency noise bandwidth.
- 4: The temperature coefficient of  $V_{OUT}$  is typically within  $\pm 0.01\% V_O/^\circ C$ .

## Absolute maximum ratings

Output Voltage	$V_O = 5V$ to $8V$	30V	Maximum Junction Temperature	125°C
	$V_O = 12V$ to $18V$	35V	Storage Temperature Range	-65°C to +150°C
	$V_O = 24V$	40V	Metal Can (H Package)	-55°C to +150°C
Internal Power Dissipation (Note 1)	Internally Limited	0°C to +70°C	Molded TO-92 (Z Package)	Lead Temperature (Soldering, 10 seconds)
Operating Temperature Range				300°C

## 78LXXAC electrical characteristics (Note 2) $T_J = 0^\circ C$ to $+125^\circ C$ , $I_O = 40$ mA, $C_{IN} = 0.33\mu F$ , $C_O = 0.1\mu F$ (unless noted)

78LXXAC OUTPUT VOLTAGE		5V	6V	8V	10V	12V	15V	18V	24V	UNITS			
IUT VOLTAGE (unless otherwise noted)		10V	11V	14V	17V	19V	23V	27V	33V				
PARAMETER	CONDITIONS	MIN	TYP	MAX	MIN	TYP	MAX	MIN	TYP	MAX			
Output Voltage (Note 4)	$T_J = 25^\circ C$	4.8	5	5.2	5.75	6	6.25	7.7	8	8.3			
	$1mA \leq I_O \leq 70$ mA or $1mA \leq I_O \leq 40$ mA and $V_{MIN} \leq V_{IN} \leq V_{MAX}$	4.75	5.25	5.7	6.3	7.6	8.4	9.5	10.5	11.4			
Line Regulation	$T_J = 25^\circ C$	10	64	10	68	12	85	16	105	20	110	25	140
	$(8 \leq V_{IN} \leq 20)$			(19 $\leq V_{IN} \leq 21$ )	(11 $\leq V_{IN} \leq 23$ )	(14 $\leq V_{IN} \leq 25$ )	(16 $\leq V_{IN} \leq 27$ )	(16 $\leq V_{IN} \leq 27$ )	(20 $\leq V_{IN} \leq 30$ )	(21 $\leq V_{IN} \leq 33$ )	(28 $\leq V_{IN} \leq 38$ )	mV	
		18	75	18	90	20	100	25	140	30	180	37	260
Load Regulation	$T_J = 25^\circ C$ 1 mA $\leq I_O \leq 40$ mA	5	30	6	35	8	40	9	45	10	50	12	75
	$T_J = 25^\circ C$ 1 mA $\leq I_O \leq 100$ mA	20	60	22	70	25	80	27	90	30	100	35	150
Long Term Stability		12		15		20		22		24		30	
Quiescent Current	$T_J = 25^\circ C$	3	5	3	5	3	5	3	5	3	5	3.1	5
	$T_J = 125^\circ C$		4.7		4.7		4.7		4.7		4.7	4.7	
Quiescent Current Change	$1mA \leq I_O \leq 40$ mA	0.1		0.1		0.1		0.1		0.1		0.1	
	$V_{MIN} \leq V_{IN} \leq V_{MAX}$	1.0		1.0		1.0		1.0		1.0		1.0	
Output Noise Voltage	$T_J = 25^\circ C$ (Note 3) $f = 10$ Hz - 10 kHz	40		50		60		70		80		90	
Ripple Rejection	$f = 120$ Hz	47	62	45	60	43	57	41	55	40	54	37	51
	$(8 \leq V_{IN} \leq 16)$			(19 $\leq V_{IN} \leq 18$ )	(12 $\leq V_{IN} \leq 20$ )	(13 $\leq V_{IN} \leq 25$ )	(15 $\leq V_{IN} \leq 25$ )	(18.5 $\leq V_{IN} \leq 28.5$ )	(23 $\leq V_{IN} \leq 33$ )	(28 $\leq V_{IN} \leq 35$ )		36	48
Input Voltage Required to Maintain Line Regulation	$T_J = 25^\circ C$	7		8.3		10.5		12.5		14.5		17.5	

Thermal resistance of the Metal Can Package (H) without a heat sink is  $15^\circ C/W$  junction to case and  $140^\circ C/W$  junction to ambient. Thermal resistance of the TO-92 package is  $180^\circ C/W$  junction to ambient with 0.4" leads from a PC board and  $160^\circ C/W$  junction to ambient with 0.125" lead length to a PC board.

The maximum steady state usable output current and input voltage are very dependent on the heat sinking and/or lead length of the package. The data above represent pulse test conditions with junction temperatures as indicated at the initiation of test.

Recommended minimum load capacitance of  $0.01\mu F$  to limit high frequency noise bandwidth.  
The temperature coefficient of  $V_{OUT}$  is typically within  $\pm 0.01\% V_O/^\circ C$ .

## KONKLUSITION

Resultatet af dette projekt, er et godt og effektivt måleinstrument, som kan opfylde de fleste af de krav som en tekniker vil kunne stille.

Eneste bagatel er faktisk at det ikke kan måle vekselstrøm.

Grunden til at det ikke kan det, er nok at prisen på instrumentet ville blive en hel del dyrer, hvis vekselstrømsområdet skulle kunne leve op til den standard, som kendetegner instrumentet.

Heldigvis er det dog sjældent, at man indenfor elektronikken kommer til at måle vekselstrøm.

Det er glædeligt at se, at kravet om en nøjagtighed på  $I\%$  er blevet opfyldt til fulde.

### Kommentar:

Meges velskrevet rapport. Særliges grundig gennemgang af kredsløbene virkemåde.

25/10 ff.

